



# Numerical and Experimental Study of the Effect of Construction of Amirkabir Highway (55 meters) in Arak City on Air Pollution Reduction

## ARTICLE INFO

**Article Type**  
Original Research

### Authors

Mostafavi Z.<sup>1</sup> PhD,  
Safikhani H.<sup>\*1</sup> PhD,  
Karimi A.<sup>1</sup> MSc,  
Salehfard S.<sup>1</sup> MSc

### How to cite this article

Mostafavi Z, Safikhani H, Karimi A, Salehfard S. Numerical and Experimental Study of the Effect of Construction of Amirkabir Highway (55 meters) in Arak City on Air Pollution Reduction. Modares Mechanical Engineering. 2021; 21(3):195-208.

## ABSTRACT

Arak is ranked 71st in the world's most polluted cities. Arak's air is more polluted than the Iranian capital in terms of pollutants. The influx of large amounts of pollution into the city shows that a high percentage of pollution is concentrated in a small town, and this volume of pollution is very dangerous for both humans and the environment. In order to reduce air pollution in the city, the Iranian government in 2007 approved a plan called the comprehensive plan to reduce air pollution in Arak. In this comprehensive plan, the construction of a highway called Amirkabir (55 meters) has been approved, which connects the east and west of Arak. In this article, numerically and experimentally, the effect of constructing this highway on the reduction of air pollution in Arak city has been investigated. In the results section, the details of changes in air pollution in Arak city before and after the construction of this highway have been compared. The results show that a 2.75 percent decrease is observed for Nox pollutants, 4 percent decrease is observed for Co, and a change is obtained for So2. As a result, the implementation of this project at a very high cost will not have a significant impact on improving air pollution in the city of Arak.

**Keywords** Air Pollution, Arak, Amirkabir Highway, Nox, Co, So2

## CITATION LINKS

<sup>1</sup> Mechanical Engineering, Engineering Faculty, Arak University, Arak, Iran

### \*Correspondence

Address: Mechanical Engineering, Engineering Faculty, Arak University, Arak, Iran  
Phone: -  
Fax: -  
h-safikhani@araku.ac.ir

### Article History

Received: January 09, 2019  
Accepted: November 22, 2020  
ePublished: March 17, 2021

- [1] On the environmental effectiveness analysis of energy policies: A case study of air pollution in the megacity of Tehran. [2] <https://www.who.int/health-topics>. [3] Traffic data in air quality modeling: a review of key variables, improvements in results, open problems and challenges in current research. [4] Landfill reactions to society actions: The case of local and global air pollutants of Cerro Patacón in Panama. [5] Estimating exposure to fine particulate matter emissions from vehicle traffic: Exposure misclassification and daily activity patterns in a large, sprawling region. [6] The traffic flow effect modeling on the air pollution of Shiraz city. [7] Dispersion modeling of air pollutants from the Ilam cement factory stack. [8] Estimation of volatile organic compounds emissions from the fuel storage tanks using TANKS model and its distribution modeling by AERMOD model. [9] Dispersion modeling of CO with AERMOD in South Pars fourth gas refinery. [10] Dispersion modelling of SO2 pollution Emitted from Ramin Ahwaz power plant using AERMOD model. [11] Performance of AERMOD Under Different Building Forms and Dimensions. [12] An intercomparison of the AERMOD, ADMS and ISC dispersion models for regulatory applications. [13] Atmospheric Dispersion Modeling of the Emissions from the Logbaba Thermal Power Plant, Douala-Cameroon. [14] Investigating the Gaussian Model in Air Pollution Distribution Modeling Using Geographic Information System. [15] Fundamentals of direct inverse CFD modeling to detect air pollution sources in urban areas. [16] Impact of nitrogen and climate change interactions on ambient air pollution and human health. [17] Human health effects of air pollution. [18] Health risks of NO2, SPM and SO2 in Delhi (India). [19] Developing an odour emission factor for an oil refinery plant using reverse dispersion modeling. [20] Assessing particle dry deposition in an urban environment by using dispersion models. [21] An intercomparison of the AERMOD, ADMS and ISC dispersion models for regulatory applications: Dispersion over terrain. [22] Modeling urban background air pollution in Quito, Ecuador.

۷۸ درصد گاز نیتروژن ۲۰ درصد گاز اکسیژن و مابقی گاز آرگون، دی اکسید کربن و میزان کمی متان و گازهای بی اثر هیدروژن تشکیل شده است. مهم‌ترین آلاینده‌های هوای شامل مونوکسید کربن، اکسیدهای نیتروژن، اکسیدهای گوگرد، ذرات معلق کمتر از ۱۰ میکرون، ازن و هیدروکربن‌های نسخته می‌باشند که هر یک از این آلاینده‌ها اثرات مختلفی بر روی سلامتی انسان دارد. اثرات آلودگی هوا بصورت بلندمدت و کوتاه مدت بوده و شامل مشکلات ریوی، عصبی، قلبی و عروقی می‌باشد.

امروزه پیامدهای مختلف آلودگی هوا باعث شده است که نظارت و کنترل کیفیت هوا به صورت امری گریزناپذیر در تمام جوامع در رأس مسائل مالی مطرح شود. مطالعه انجام شده توسط تکسیبی و همکاران رویکردهای مختلفی را برای ارزیابی کاریابی زیست‌محیطی سناریوهای سیاست‌گذاری انرژی مقایسه کرده است. به عنوان یک مطالعه موردنی، کلان شهر تهران مورد بررسی قرار گرفت. یک سیاست اساسی در این شهر مهار غلظت بالای PM2.5 و کاهش اثرات منفی ناشی از آن است. نتایج نشان داد که در مشاغل معمول، غلظت PM2.5 اولیه و ثانویه به طور متوسط مکانی در تهران در دوره ۲۰۳۰-۲۰۱۰، ۳۰ درصد افزایش می‌یابد. اتخاذ برخی از سناریوهای سیاست‌گذاری شده برنامه‌ریزی شده و کاهش غلظت آلاینده‌های مربوطه در تهران نشان می‌دهد که کارآمدترین سناریو کاهش می‌تواند میانگین غلظت PM2.5 را به میزان ۳۵ درصد در سال ۲۰۳۰ و تعداد روزهای آلوده را ۲۰ درصد کاهش دهد<sup>[۱]</sup>.

با توجه به افزایش استفاده از انرژی و رشد جمعیت و همچنین توسعه سریع و صنعتی شدن، مشکلات آلودگی هوا در بسیاری از کشورهای جهان امری اجتناب‌نپذیر می‌باشد. هر چند بر اساس گزارش‌های سازمان بهداشت جهانی ۹۱ درصد از جمیعت جهان در مناطقی که کیفیت هوا از حد استاندارد WHO بالاتر است زندگی می‌کنند ولی کیفیت هوای محیطی به حدی رو به خامت گذاشته است که می‌تواند تأثیر قابل توجهی بر سلامت و رفاه انسان داشته باشد، به طوری که طبق گزارش‌های سازمان جهانی در سال ۲۰۱۷ سالیانه ۴/۹ میلیون نفر در جهان بر اثر قرار گرفتن در معرض آلودگی هوای در محیط‌های باز جانشان را از دست داده‌اند. در ایران این آمار نزدیک به ۱۳ هزار نفر بوده که بیانگر نرخ مرگ میر به ازای ۱۰۰ هزار نفر ۴/۲ نفر است<sup>[۲]</sup>.

در تحقیق آنتونیو پینتو و همکاران به بررسی تأثیر داده‌های ترافیکی در مدل‌سازی کیفیت هوا پرداخته شد که در این مقاله بیان شده است که میزان آلاینده‌گی از وسایل نقلیه جاده‌ای منبع اصلی آلودگی هوا در مناطق شهری است. انتشار منبع متحرک به طور قابل توجهی به آلودگی ذرات ریز (PM2.5) در محیط‌های جوی شهری کمک کرده است. در یک تحقیق اثرات بهداشتی ناشی از انتشار PM2.5 از وسایل نقلیه در جاده در طول روزهای آخر هفته در پکن چین بر اساس داده‌های رانندگی به دست آمده از ۲۰۰۰۰ می‌دهد که معادل با ۱۶ کیلو هوا استنشاق می‌کند. هوای سالم از

## بررسی عددی و تجربی تأثیر احداث بزرگراه امیرکبیر (۵۵ متری) در شهر اراک بر میزان کاهش آلودگی هوا

سید علیرضا مصطفوی Phd

استادیار، گروه مهندسی مکانیک، دانشکده فنی و مهندسی، دانشگاه اراک، اراک، ایران

حامد صفوی خانی Phd\*

دانشیار، گروه مهندسی مکانیک، دانشکده فنی و مهندسی، دانشگاه اراک، اراک، ایران

علی کریمی MSc

کارشناسی ارشد گروه مهندسی مکانیک، دانشکده فنی و مهندسی، دانشگاه اراک، اراک، ایران

سیاوش صالح فرد MSc

کارشناسی ارشد گروه مهندسی مکانیک، دانشکده فنی و مهندسی، دانشگاه اراک، اراک، ایران

### چکیده

اراک در رتبه ۷۱ آلودترین شهرهای جهان قرار داشته و از نظر داشتن عوامل آلودگی‌کننده از پایین‌تاخت ایران آلوده‌تر است. به منظور کاهش آلودگی هوای شهر و در طرح جامع کاهش آلودگی هوای اراک، احداث بزرگراهی به نام امیرکبیر (۵۵ متری) تصویب شده است که شرق و غرب اراک را به هم متصل می‌نماید. در این مقاله به صورت عددی، تأثیر احداث این بزرگراه بر میزان کاهش آلاینده‌گی هوای شهر اراک بررسی شده است. در قسمت نتایج، جزئیات تغییرات میزان آلودگی هوا در شهر اراک قبل و بعد از احداث این بزرگراه مقایسه شده است. نتایج بیانگر آن است که برای آلاینده ناکس ۲/۷۵ درصد کاهش، برای مونوکسید کربن ۴ درصد کاهش مشاهده شده است و برای دی اکسید گوگرد بدون تغییر حاصل شده است. در نتیجه اجرای این طرح با هزینه‌های تأسیس اراک را به همراه نخواهد داشت.

**کلیدواژه‌ها:** آلودگی هوا، اراک، بزرگراه امیرکبیر، خیابان ۵۵ متری اراک، NO<sub>x</sub>, SO<sub>2</sub>, CO,

تاریخ دریافت: ۱۳۹۷/۱۰/۱۹

تاریخ پذیرش: ۱۳۹۹/۰۹/۰۲

\*نویسنده مسئول: h-safikhani@araku.ac.ir

### ۱- مقدمه

هر آنچه که کیفیت طبیعی هوا را تغییر دهد آلودگی هوا نامیده می‌شود. به عبارتی آلودگی هوا ناشی از عواملی بوده که تأثیر مستقیم بروی سلامت انسان، گیاه، جانوران و حتی اینهای می‌گذارد. به عبارتی دیگر در هوایی که ما تنفس می‌کنیم ترکیبات گازی خاصی وجود دارند که تغییر در این ترکیبات باعث آلودگی می‌شود این ترکیبات گازی شامل نیتروژن، اکسیژن، دی اکسید کربن و غیره می‌باشد. منابع آلودگننده هوا: این منابع بسیار متنوع بوده و شامل وسایل نقلیه موتوری و غیر موتوری، کارخانه‌ها و منابع خانگی می‌باشند. هر فرد روزانه ۲۲ هزار بار دم و بازدم انجام می‌دهد که معادل با ۱۶ کیلو هوا استنشاق می‌کند. هوای سالم از

نفتی رهاسده در فصل زمستان برای شهرهای اطراف منطقه مورد مطالعه (با توجه به اقلیم و توپوگرافی)، می‌تواند زمینه‌ساز تشکیل مه- دود فتوشیمیابی و خطرآفرین گردد. باز طراحی و بازسازی مخازن ذخیره نفت بر اساس فناوری‌های نوین و بکار گرفتن روش‌هایی که در آن کمترین انتشار آلودگی صورت گیرد، می‌تواند ضمن برگشت سرمایه اولیه توسعه پایدار محیط‌زیست و سلامت را در پی داشته باشد. این مطالعه به مهندسین طراح مخازن ذخیره نفت کمک می‌نماید تا راهبرد مناسبی برای ذخیره نفت در پیش بگیرند<sup>[8]</sup>. مدل‌سازی نحوه پراکنش آلاینده مونوکسید با استفاده از نرم‌افزار AERMOD در پالایشگاه ۴ گازی پارس جنوبی توسط عتابی و همکاران انجام شده است. در این مقاله با استفاده از نرم‌افزار AREMOD پراکنش آلاینده مونوکسید در محدوده مطالعه‌ی پالایشگاه چهارم پارس جنوبی مدل شده و پس از صحبت‌سنگی مدل به این نتیجه رسیده‌اند که غلظت آلاینده مونوکسید در ایستگاه‌های پایش و پذیرنده‌های شیوه‌سازی بالاتر از حد استاندار است و درنهایت با توجه به ارزیابی‌های انجام شده عملکرد نرم‌افزار قابل قبول است<sup>[9]</sup>. مدل‌سازی پخش آلاینده گوگرد دی اکسید ناشی از نیروگاه رامین اهواز با استفاده از مدل AERMOD توسط مومنی و همکاران انجام شده است. در این مقاله سعی شده با استفاده از مدل AERMOD از مدل‌های سری گوسین به مدل‌سازی پراکنش دی اکسید گوگرد ناشی از نیروگاه رامین اهواز پرداخته شود و درنهایت نتایج این مطالعه نشان داد که غلظت دی اکسید گوگرد ناشی از نیروگاه در تمامی موارد کمتر از استاندار تعیین شده توسط سازمان حفاظت محیط‌زیست و EPA هست<sup>[10]</sup>. بررسی تأثیر تغییر ابعاد و شکل سازه‌های صنعتی بر خروجی مدل AERMOD توسط عیاضی و همکاران انجام شده است. آن‌ها نشان دادند که بیشترین میزان غلظت مربوط به ساختمان‌های مکعبی بوده و نتایج مطالعه مذکور در زمینه شکل ساختمان نشان داد که در نسبت ارتفاع دودکش به ارتفاع ساختمان برابر با یک، نتایج مطالعه، حساسیت چندانی به عرض ساختمان ندارند، اما در نسبت ۱/۵ عرض ساختمان به عنوان عامل مهم بر نتایج اثر می‌گذارد. بالاترین غلظت اندازه‌گیری شده در سطح زمین برای ساختمان‌های بسیار عریض (عرض ساختمان چهار برابر ارتفاع ساختمان) بیش از دو برابر ساختمان‌های مکعبی شکل است. در این مطالعه تأثیر ابعاد و شکل ساختمان‌ها و سازه‌های موجود درسایت صنعتی بر خروجی مدل AERMOD مورد بررسی قرار گرفت. در زمینه بررسی تأثیر ابعاد، نتایج حاصل بیانگر آن است که صرف نظر از شکل ساختمان با افزایش ابعاد ساختمان غلظت آلاینده به میزان قابل ملاحظه‌ای در پایین دست ساختمان افزایش می‌یابد. در زمینه اشکال ساختمانی نیز نتایج نشان می‌دهد که شکل ساختمانی گستره‌ی یا عریض (ساختمان‌هایی که در آن عرض ساختمان دو برابر طول و ارتفاع ساختمان است) تأثیر افزایشی بیشتری بر غلظت آلاینده نسبت به دو شکل

تاكسي مورد بررسى قرار گرفته است. میزان انتشار PM2.5 از وسائل نقلیه موتوری در روزهای معمولی هفتنه به طور کلی بالاتر از آخر هفتنه بوده است. این یافته‌ها، اطلاعاتی را برای کمک به تدوین سیاست‌های بهداشت عمومی معقول برای پرداختن به پیامدهای بهداشتی ناشی از انتشار PM2.5 فراهم می‌کند<sup>[3]</sup>. مطالعات زیادی نیز بر تاثیرآلودگی ناشی از صنایع متعدد در مناطقی از دنیا انجام شده است. در تحقیق انجام شده توسط تورنتو و همکاران به انتشار گازهای دفن زباله و خطرات زیستمحیطی و بهداشتی مرتبط در شهر پاناما پرداخته و نشان دادند به طور متوسط ۴۷ گرم ضایعات جامد حاصل از ۱/۵ میلیون نفر از ساکنان شهر پاناما، سلامت ۷۳،۶۰۰ ساکنان جوامع اطراف را تحت تأثیر قرار می‌دهد<sup>[4]</sup>. در مطالعه تایرانی و همکاران قرار گرفتن در معرض ریز ذرات ناشی از ترافیک وسایل نقلیه در طول روز در یک منطقه بزرگ در آتلانتا، منطقه شهری جورجیا مورد تحقیق قرار گرفته است و اثبات شده است که جمعیت در معرض خطر گرفته به ۵۱ درصد می‌رسد<sup>[5]</sup>. قنبری فرد و همکاران در مدل‌سازی تأثیرات جریان‌های ترافیکی بر آلودگی هوای شهر شیراز یک مدل شبکه عصبی و یک مدل غیرخطی مبتنی بر فضای حالت بر مبنای ترافیک شهر شیراز طراحی و غلظت آلاینده‌ها را بررسی کرده‌اند و نهایتاً با استفاده از فیلتر کالمون توسعه یافته برای یک دوره ۲۴ ساعته پیش‌بینی شده است. این مدل‌سازی بر مبنای رابطه بین غلظت آلاینده‌ها و ترافیک و آلودگی اولیه و اطلاعات هواشناسی می‌باشد. خطای مریعات دو روش ذکر شده آورده شده و نشان دهنده تطبیق نتایج مدل توسعه یافته با نتایج اندازه‌گیری شده است<sup>[6]</sup>.

در تحقیق و مدل‌سازی پراکنش آلاینده‌های هوا خروجی از دودکش کارخانه سیمان ایلام پخش و پراکنش ذرات معلق در منطقه توسط نورپور و همکاران اطراف مدل‌سازی شده است. با توجه به ورود ذرات معلق از غرب کشور به منطقه مورد مطالعه، به منظور تعیین و ارزیابی سهم کارخانه سیمان ایلام از کل گرد و غبار موجود، با استفاده از پمپ SKC میزان غبار محیطی در چهار نقطه اطراف کارخانه اندازه‌گیری شده است. نتایج تحقیق نشان می‌دهند مقدار آلودگی در هوای منطقه ناشی از خروجی‌های دودکش کارخانه بسیار پایین تراز حد استاندارد هوای پاک می‌باشد<sup>[7]</sup>. برآورد انتشار ترکیبات آلی فرار از مخازن ذخیره سوخت با استفاده از مدل TANKS و مدل‌سازی پراکنش آن با مدل AERMOD که توسط بهمن رماوندی و همکاران هدف این مطالعه بررسی و مدل‌سازی میزان انتشار ترکیبات آلی فرار از یک انبار نفت در ایران با استفاده از نرم‌افزار TANKs 4.0.9d و نحوه پراکنش این ترکیبات در منطقه مورد مطالعه با استفاده از مدل AERMOD است. درنهایت این مطالعه نشان داد که بر اساس پیش‌بینی مدل TANKS سالانه مقادیر فراوانی از ترکیبات نفتی از مخازن مورد مطالعه به اتمسفر رها می‌شود که می‌تواند از دیدگاه بهداشتی- زیستمحیطی و اقتصادی حائز اهمیت باشد. مدل AERMOD نشان داد که ترکیبات

متصل می‌شود و ترکیب آن را تغییر می‌دهد و ظرفیت انتقال اکسیژن را کاهش می‌دهد. این کاهش در دسترس بودن اکسیژن می‌تواند بر عملکرد اندام‌های مختلف (و به ویژه اندام‌های نیازمند اکسیژن بالا از جمله مغز و قلب) تأثیر بگذارد و منجر به اختلال در سیستم ریه شود<sup>[17]</sup>. اکسیدهای گوگرد می‌توانند اکسید شوند و اسید سولفوریک تشکیل دهند و از این طریق منجر به آسیب ریه‌ها و اختلالات مختلف ریه مانند خس و تنگی نفس شود<sup>[18]</sup>. مطالعه با استفاده از فن مدل‌سازی پراکنده معکوس بو با AERMOD مختلف OEEF را برای منابع مختلف یک کارخانه مرجع روغن در کاتانا به دست آورد. نتایج نشان داد که منابع اصلی بو در دودکش‌های پالیشگاه با سهم ۹۹٪ از انتشار بوی هستند<sup>[19]</sup>. ذرات ته نشین شده به طور بالقوه می‌توانند باعث افزایش ترکیبات ضرر در محیط‌زیست شوند و می‌توانند باعث ایجاد اثرات مزمن برای جامع بشری شوند. نتایج آن‌ها را با یک سال از داده‌های تجربی میدانی به دست آمده در یک منطقه شهری با زمین دارای پستی بلندی مقایسه کرده است. با روش اعتبارسنجی مدل، و با استفاده از پارامترهای پیش‌فرض توصیه شده برای هر مدل، CALPUFF AERMOD توافق بهتری با داده‌های مشاهده نسبت به AERMOD نشان داد<sup>[20]</sup>. هال و همکاران به مقایسه میان سه مدل AERMOD و ISC و ADMS پرداختند. در مطالعه مذکور دو دودکش با ارتفاع ۹۵ متر و ۱۰۵ متر در نظر گرفته شد که در سه حالت شرایط پایدار، خنثی و ناپایدار از لحاظ هواشناسی بررسی گردید. نتایج مطالعه به این صورت بود که ارتباط شکل و ابعاد دو شکل ساختمان مکعبی و ساختمان عریض، عرض ساختمان هفت برابر ارتفاع ساختمان و یک دودکش با ارتفاع ۹۵ متر نشان داده شد. ساختمان مکعبی شکل، در این مطالعه یک بار با ابعاد ۲۰ متر و بار دیگر با ابعاد ۳۰ متر در نظر گرفته شده است. مدل‌سازی با استفاده از این سه مدل در این دو حالت نشان داده شده است. هنگامی که ابعاد ساختمان مکعب شکل از ۲۰ به ۳۰ متر برسد، میزان حداکثر غلظت آلاینده در دو مدل AERMOD و ADMS افزایش می‌یابد، اما در مدل ISC واکنشی نسبت به این تغییر دیده نمی‌شود. در مقایسه میان دو شکل مکعبی و عریض، بررسی میان حداکثر غلظت‌ها در سه مدل نشان می‌دهد که دو مدل AERMOD و ADMS نسبت به این تغییر شکل ساختمان حساسیت نشان می‌دهند ولی مدل ISC حساسیتی نسبت به این تغییر ندارد<sup>[21]</sup>. تحقیقی که توسط ام بایک و همکاران انجام شده است به نتایج مورد اطمینانی رسیده‌اند که در آن با بررسی و اندازه‌گیری در زمان‌های بهترین فاصله زمانی را برای اندازه‌گیری از بین سالیانه، ساعتی و روزانه، فاصله زمانی روزانه می‌باشد<sup>[13]</sup>. بررسی مدل گوس در مدل‌سازی پخش آلودگی هوا با استفاده از سیستم اطلاعات جغرافیایی که توسط رحمانیان و همکاران انجام شده است و در نهایت به این نتیجه رسیده‌اند که مدل گوس نقطه‌ای مطرح شده در این پروژه برای تخمین روند تغییرات آلودگی هوا با تغییر پارامترهای محیطی می‌تواند نتیجه نسبتاً دقیقی را حاصل نماید. از سیستم اطلاعات GIS هم می‌توان در مدل‌سازی زیستمحیطی بهره برد و همچنین مدیریت کارآمدتری در رفع بحران و نیز انتقال سریع اطلاعات ایجاد نمود. مدل گوس مقدار حقیقی غلظت آلاینده‌ها را نمی‌تواند مشخص نماید اما روند تغییرات با توجه به پارامترهای مختلف کاملاً قابل استناد می‌باشد<sup>[14]</sup>. در تحقیق محمود بدی در دیپارتمان ژاپن- مصر انجام شده است از روش معکوس برای تشخیص منابع آلودگی در محیط‌های شهری استفاده شده است از این روش در سال ۱۹۹۵ در متروی توکیو و در سال ۲۰۰۱ در واشنگتن استفاده شده است روش معکوس از روش CFD استفاده می‌کند<sup>[15]</sup>. بر اساس تحقیق پیل و همکاران قرار گرفتن در معرض آلاینده NOx و تنفس آن عوارضی، از جمله: سیستم‌های دفاعی میزبان مختل شده، افزایش التهاب و حساسیت ریه به ویژه در بین بیماران دارای آسم، افزایش سرفه، خس خس سینه و عملکرد ریه کاهش یافته است<sup>[16]</sup>. بر اساس تحقیق کارمپا و همکاران مونوکسید کربن به هموگلوبین

ساختمانی دیگر دارد و در مجموع به نظر می‌رسد که خروجی مدل نسبت به عرض ساختمان حساسیت بیشتری را نشان می‌دهد<sup>[11]</sup>. هال و همکاران به مقایسه میان سه مدل AERMOD، ISC و ADMS پرداختند. در مطالعه مذکور دو دودکش با ارتفاع ۹۵ متر و ۱۰۵ متر در نظر گرفته شد که در سه حالت شرایط پایدار، خنثی و ناپایدار از لحاظ هواشناسی بررسی گردید. نتایج مطالعه به این صورت بود که ارتباط شکل و ابعاد دو شکل ساختمان مکعبی و ساختمان عریض، عرض ساختمان هفت برابر ارتفاع ساختمان و یک دودکش با ارتفاع ۹۵ متر نشان داده شد. ساختمان مکعبی شکل، در این مطالعه یک بار با ابعاد ۲۰ متر و بار دیگر با ابعاد ۳۰ متر در نظر گرفته شده است. مدل‌سازی با استفاده از این سه مدل در این دو حالت نشان داده شده است. هنگامی که ابعاد ساختمان مکعب شکل از ۲۰ به ۳۰ متر برسد، میزان حداکثر غلظت آلاینده در دو مدل AERMOD و ADMS افزایش می‌یابد، اما در مدل ISC واکنشی نسبت به این تغییر دیده نمی‌شود. در مقایسه میان دو شکل مکعبی و عریض، بررسی میان حداکثر غلظت‌ها در سه مدل نشان می‌دهد که دو مدل AERMOD و ADMS نسبت به این تغییر شکل ساختمان حساسیت نشان می‌دهند ولی مدل ISC حساسیتی نسبت به این تغییر ندارد<sup>[12]</sup>. تحقیقی که توسط ام بایک و همکاران انجام شده است به نتایج مورد اطمینانی رسیده‌اند که در آن با بررسی و اندازه‌گیری در زمان‌های بهترین فاصله زمانی را برای اندازه‌گیری از بین سالیانه، ساعتی و روزانه، فاصله زمانی روزانه می‌باشد<sup>[13]</sup>. بررسی مدل گوس در مدل‌سازی پخش آلودگی هوا با استفاده از سیستم اطلاعات جغرافیایی که توسط رحمانیان و همکاران انجام شده است و در نهایت به این نتیجه رسیده‌اند که مدل گوس نقطه‌ای مطرح شده در این پروژه برای تخمین روند تغییرات آلودگی هوا با تغییر پارامترهای محیطی می‌تواند نتیجه نسبتاً دقیقی را حاصل نماید. از سیستم اطلاعات GIS هم می‌توان در مدل‌سازی زیستمحیطی بهره برد و همچنین مدیریت کارآمدتری در رفع بحران و نیز انتقال سریع اطلاعات ایجاد نمود. مدل گوس مقدار حقیقی غلظت آلاینده‌ها را نمی‌تواند مشخص نماید اما روند تغییرات با توجه به پارامترهای مختلف کاملاً قابل استناد می‌باشد<sup>[14]</sup>. در تحقیق محمود بدی در دیپارتمان ژاپن- مصر انجام شده است از روش معکوس برای تشخیص منابع آلودگی در محیط‌های شهری استفاده شده است از این روش در سال ۱۹۹۵ در متروی توکیو و در سال ۲۰۰۱ در واشنگتن استفاده شده است روش معکوس از روش CFD استفاده می‌کند<sup>[15]</sup>. بر اساس تحقیق پیل و همکاران قرار گرفتن در معرض آلاینده NOx و تنفس آن عوارضی، از جمله: سیستم‌های دفاعی میزبان مختل شده، افزایش التهاب و حساسیت ریه به ویژه در بین بیماران دارای آسم، افزایش سرفه، خس خس سینه و عملکرد ریه کاهش یافته است<sup>[16]</sup>. بر اساس تحقیق کارمپا و همکاران مونوکسید کربن به هموگلوبین

در این مقاله تأثیر احداث خیابان ۵۵ متری بر میزان کاهش آلودگی هوای شهر اراک بررسی شده است. نتایج ناشی از مدل سازی برای سه آلاینده  $\text{NO}_x$ ,  $\text{CO}$  و  $\text{Sox}$  ارائه شده و با داده های اندازه گیری شده در ایستگاه های سنجش مختلف در سطح شهر مورد مقایسه قرار گرفته است.

## ۲- مدل سازی

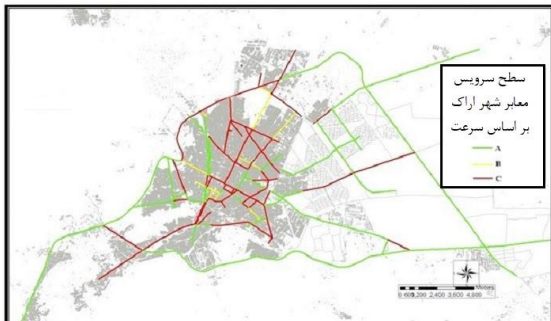
### ۱-۲- جغرافیایی بزرگراه امیرکبیر (۵۵ متری)

در شکل ۱ نقشه و محدوده مورد نظر مدل سازی در شهر اراک نمایش داده شده است. در شکل ۲ نیز ترافیک تمامی معابر شهر اراک، قبل از اجرای طرح ۵۵ متری نشان داده شده است. همان گونه که در این شکل مشخص است، مرکز شهر دارای ترافیک سنگینی است که احداث خیابان ۵۵ متری ممکن است بتواند به کاهش این بار ترافیکی کمک نماید.

در شکل ۲ ترافیک معابر موجود در اطراف این معبر قبل از اجرای طرح ۵۵ آورده شده است. شکل ۳ نمای پیشنهادی بزرگراه امیرکبیر موسوم به ۵۵ متری را نمایش می دهد. همان گونه که مشخص است این خیابان شرق و غرب شهر اراک را به هم وصل می نماید. این معبر جدید که از قبل میدان ولیعصر آغاز و تا خیابان میرزا شیرازی ادامه پیدا می کند از بافت مرکزی شهر اراک عبور کرده و کریدور مهمی را به وجود می آورد. عرض کلی این معبر در طرح تفصیلی حدود ۵۵ متر در نظر گرفته شده که شامل ۴ خط بزرگراه در



شکل ۱) نمای محدوده مورد مطالعه



شکل ۲) ترافیک مربوط به هر یک از معابر بدون معبر ۵۵ متری

برای سال ۲۰۰۹ محاسبه شده است. عملکرد UBM در شش ایستگاه ارزیابی شده است. موجودی انتشار آلودگی هوا با استفاده از فاکتورهای کالیبراسیون اندازه گیری شد، تا زمانی که غلظت مدل مطابق با مشاهدات باشد. یافته ها تأیید کاربرد UBM در پیش بینی آلوودگی هوا در سطح پس زمینه شهری در کوبیتو نشان می دهد<sup>[24]</sup>. با توجه به تحقیقات دیگری که توسط افراد مختلف دیگر در زمینه آلوودگی هوا انجام شده، بهترین نوع مدل سازی با خطای کم برای آلوینده های گوناگون با استفاده از داده های مختلف توسط نرم افزار AERMOD امکان پذیر بوده و بهترین زمان مورد بررسی به صورت سالیانه با استفاده از داده های ساعت به ساعت است. اراک یکی از کلان شهرهای ایران و از بزرگ ترین شهرهای مرکز ایران و مرکز استان مرکزی است. اراک از شهرهای صنعتی ایران است که از لحاظ وجود صنایع مادر، دومین و به طور کلی یکی از چهار قطب صنعتی کشور محسوب می شود. این شهر به واسطه وجود صنایع مادر، تولید ۸۰٪ تجهیزات انرژی کشور، وجود بزرگ ترین کارخانه تولید کننده آلومینیوم کشور، بزرگ ترین ماشین سازی کشور، بزرگ ترین واگن سازی و لوکوموتیو سازی خاور میانه، بزرگ ترین کمباین سازی خاور میانه، بزرگ ترین تولید کننده ماشین آلات سنگین در خاور میانه، بزرگ ترین تولید کننده جرثقیل در خاور میانه، بزرگ ترین تولید کننده بتزین کشور و بزرگ ترین صنایع معدنی کشور، به عنوان پایتخت صنعتی ایران شناخته شده است و به همین دلیل یکی از آلووده ترین شهرهای ایران است. ترافیک معابر و خیابان ها نیز یکی از چالش های مهم شهر اراک است. از جمله عوامل به وجود آورده ترافیک در شهر اراک افزایش روز افزون تعداد خودروها، شرایط نامناسب خیابان ها، عدم تعیین تکلیف تملک اراضی و تعریض معابر شهری، ضعف فرهنگ ترافیک، ضعف شبکه ترابری شهری و نبود مدیریت واحد شهری است. تعداد خودروهای موجود در شهر اراک در سال ۲۰۱۴ برابر با ۱۴۸۹۵۰ خودرو بوده است و به ازای هر چهار نفر یک خودرو در شهر وجود دارد. برای ساماندهی به ترافیک، طرح های مختلفی پیشنهاد شده است که از جمله آنها طرح جامع ترافیک شهر اراک، احداث بزرگراه درون شهری امیرکبیر (طرح ۵۵ متری)، آموزش فرهنگ ترافیک به مردم، سامانه کنترل هوشمند ترافیک اشاره کرد، اما اجرای بسیاری از این طرح ها بلا تکلیف مانده است. طبق مطالب ذکر شده با توجه به شرایط شهر اراک از نظر آلوودگی هوای آن نیاز به بررسی دقیق دارد تا بتوان پاسیاست های نتیجه گرفته شده از مدل سازی آلوودگی هوای اراک سلامت شهروندان را تأمین کرد. از این رو رو تحقیقی در زمینه کاهش آلاینده در شهر صورت گرفته است. در ابتدا شرایط کنونی شهر همراه با صنایع موجود در اطراف با استفاده از داده های ترافیکی کنونی منطقه مورد بررسی قرار گرفته است سپس با تغییر شرایط ترافیکی و معابر و انجام مدل سازی جدید، تأثیر احداث معابر جدید با استفاده از پیش بینی های ترافیکی مورد تأیید شهرداری بیان شده است<sup>[24]</sup>.

از روی اطلاعات هواشناسی پایین جوی به صورت ساعت به ساعت و همچنین اطلاعات بالا جوی که توسط بالنهای هوایی اندازه‌گیری می‌شود و اطلاعات محیط لایه‌های مرزی هوایی (شامل لایه همرفتی اختلاط و لایه زمینی و اینورژن) نتایجی حاصل شده و به ورودی مدل تبدیل می‌شود. این مدل حداقل به داده‌های زمانی، ضربی ابرناکی، دما، نسبت رطوبت، فشار، جهت باد و سرعت باد

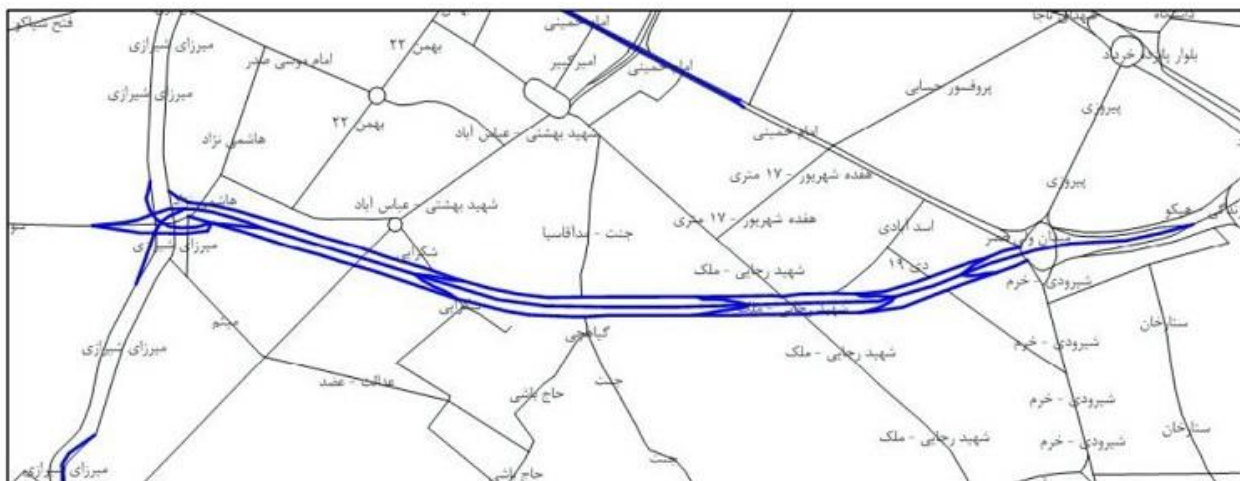
## جدول ١) اطلاعات ورودی AERMOD

اطلاعات هواشناسی	اطلاعات توپوگرافی	اطلاعات منابع آلینده
زمان داده ثبت	شده به صورت	اطلاعات
یک ساعته، نسبت پایین	روطوبت، جهت و	دودکش های صنعتی: دما و
سرعت باد، دمای جوی	سرعت باد، دمای محیط، ابرناکی	سرعت گاز خروجی موقعیت مکانی، ارتفاع دودکش
دقت ۹۰ در متر که با استاندارد WGS 84	دقت ۹۰ در متر که با	اطلاعات منابع متحرک شامل تعداد خودرو، ابعاد خیابان ها
فشار، دما، نسبت اطلاعات رطوبت و سرعت و بالا جوی جهت باد در جو بالا	نوع سوخت مصرفی و نوع خودروهای عبوری اعم از سیک و سنتیگن ، متوسط کارکرد خودرو ها کیفیت خیابان ها	اطلاعات منابع شامل

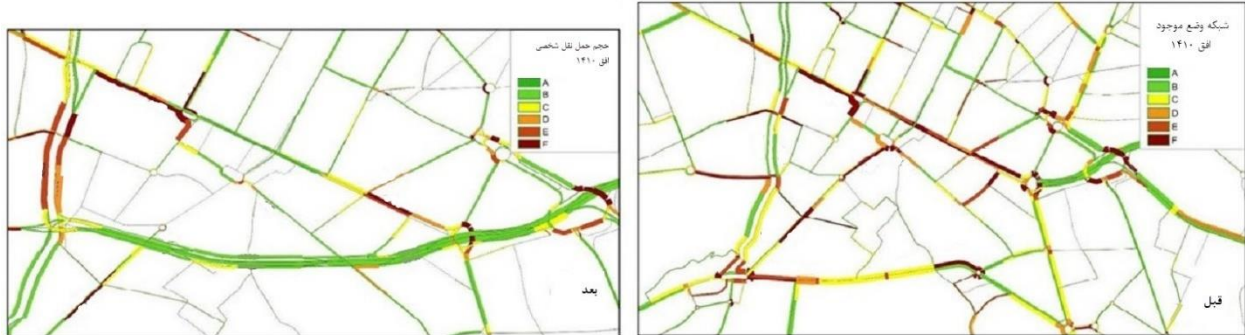
هر جهت و دو کنده رو ۳ خطه در هر سمت می‌شود. شکل ۴ نیز میزان ترافیک تخمینی قبل و بعد از احداث خیابان ۵۵ متری را نمایش می‌دهد. همان طور که در این شکل مشاهده می‌شود این معتبر پس از احداث حجم زیادی از معابر اطراف خود را جذب می‌کند که همین میزان سطح سرویس را در معابر اطراف به میزان قابل ملاحظه‌ای بهبود می‌بخشد. به عنوان نمونه خیابان شریعتی حد فاصل میدان شریعتی تا میدان فرمانداری در صورت عدم احداث معتبر ۵۵ متری در اکثر مواقع در سطح سرویس E یا F را در اوج صبح ۱۴۰۱ طرح خواهد داشت پس از احداث معابر حدائق سال افق سطح سرویس به میزان قابل ملاحظه‌ای افزایش پیدا می‌کند و در اکثر مقطاع B یا C خواهد بود. با توجه به نتایج بدست آمده از خروجی‌های نرم افزار این معتبر در اوج صبح در مجموع دو طرف رفت و برگشت و در مقطع بحرانی حدود ۷۰۰۰ وسیله نقلیه معادل از خود عبور می‌دهد البته علاوه بر این حجم حدود ۳۰۰۰ وسیله نقلیه نیز از مقطع بحرانی کنده‌ها این معتبر گذر می‌کند که اکثر آن‌ها به کاربری‌های اطراف مربوط می‌باشد.

۲-۲- اطلاعات ورودی مدل

با توجه به تعدد پارامترهای تنظیم شده در مدل AERMOD، این پارامترها در جدول ۱ نشان داده شده است.



شکل ۳) جزیات در نظر گرفته شده برای معتبر ۵۵ متری



شکل ۴) احجام عبوری و سطح سرویس معاابر قبل (بالا) و بعد (پایین) از اجرای بزرگراه امیرکبیر

**۳-۲- مدل سازی انتشار**  
با توجه به مطالعات انجام شده و از آنجا که نوع رانندگی تأثیر زیادی در مدل سازی انتشار دارد در این مقاله از مدل انتشار IVE استفاده شده است. این مدل برای تخمین انتشار بر اساس نرخ انتشار پایه (B) و ضرایب تصحیح (K) عمل می‌کند. در معادله ۱ نرخ انتشار بدون احتساب نوع فناوری وسیله نقلیه با ضرب نرخ انتشار پایه در ضرایب تصحیح محاسبه می‌شود:

$$Q_t = B_t \times K_{(Base)_t} \times K_{(Tmp)_t} \times K_{(Hmd)_t} \times K_{(IM)_t} \times K_{(Fuel)_t} \times K_{(Alt)_t} \times K_{(entry)_t} \quad (1)$$

نرخ انتشار هر یک از وسایل نقلیه از رابطه ۲ محاسبه می‌شود.

$$Q_{running} = \bar{U}_{FTP} \times \left( \frac{D}{\bar{U}_c} \right) \quad (2)$$

$$\times \sum_t [f_t \times Q_t \times \sum_d (f_{dt} \times K_{dt})]$$

تشریح پارامترهای روابط مربوط در جدول ۲ نشان داده شده است. مهم‌ترین پارامتر تعیین الگوی رانندگی در این مدل، قدرت مشخصه وسیله نقلیه (VSP) می‌باشد که از رابطه ۳ بدست می‌آید.

$$VSP = v[1.1a + 9.81(\text{atan}(\sin(\text{grade}))) + 0.132] + 0.000302v^3 \quad (3)$$

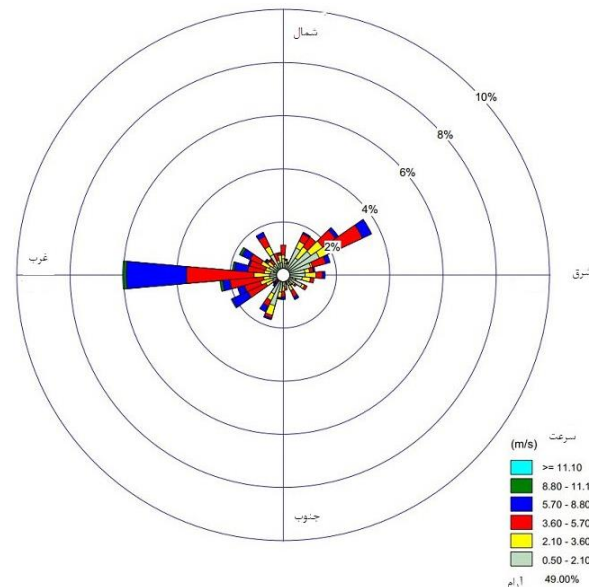
که در این رابطه  $V$  سرعت لحظه‌ای،  $a$  شتاب لحظه‌ای و  $\text{grade}$  شبیه معتبر می‌باشد. جهت مدل سازی تأثیر وسایل نقلیه بر آلودگی هوا نیاز به شناخت معابر پرتردد اراک و میزان تردد آن‌ها در ساعت‌های اوج ترافیک می‌پاشد. معیار کیفیت ترافیک از مقایسه سرعت طرح و سرعت شبکه بدست می‌آید. هر چه سرعت شبکه به سرعت طرح نزدیک‌تر باشد یعنی خیابان خلوت‌تر و رفت‌وآمد بصورت روان انجام می‌شود. وقتی این نسبت از یک بیشتر است رفت‌وآمد سریع و راحت است و با حرف  $A$  معرفی می‌شود. وقتی این نسبت بین (۰/۹-۱) است در حال بحرانی شدن و با حرف  $B$  نشان داده می‌شود و وقتی کمتر از (۰/۹) است نامناسب است و با حرف  $C$  معرفی می‌شود. در شکل ۲ در قسمت ۱-۲ کلیه معابر شهری اراک به تفکیک کیفیت تردد نشان داده شده است. برای مدل سازی آلودگی هوای

جدول ۲) تشریح پارامترهای معادلات ۱ و ۲

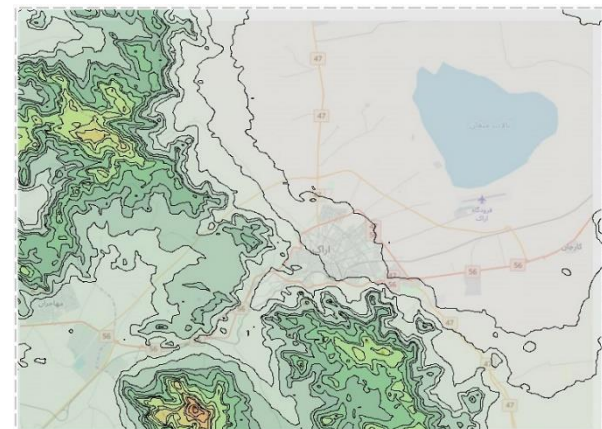
پارامتر	تشریح پارامتر
$B_t$	نرخ انتشار پایه بر حسب $g/start$ در حالت استارت یا $g/Km$ در حالت رانندگی
$Q_t$	نرخ انتشار تنظیم شده بر حسب $g/start$ در حالت استارت یا $g/Km$ در حالت رانندگی برای هر فناوری
$Q$	متodo نرخ انتشار
$f_t$	کسر زمان سفر یک فناوری خاص
$f_{dt}$	کسری از زمان هر نوع رانندگی در یک فناوری خاص
$\bar{U}_{FTP}$	سرعت متوسط چرخه رانندگی بر حسب LA4
$D$	مسافت طی شده
$\bar{U}_c$	سرعت رانندگی در چرخه رانندگی خاص بر حسب $h/Km$
$K_{(Base)_t}$	ضریب تصحیح تنظیم نرخ انتشار پایه
$K_{(Tmp)_t}$	ضریب تصحیح دما
$K_{(Hmd)_t}$	ضریب تصحیح رطوبت
$K_{(IM)_t}$	ضریب تصحیح تعمیر و نگهداری
$K_{(Fuel)_t}$	ضریب تصحیح کیفیت سوخت
$K_{(Alt)_t}$	ضریب تصحیح ارتفاع
$K_{(Entry)_t}$	ضریب تصحیح انتشارات پایه
$K_{(dt)}$	ضریب تصحیح توان و رانندگی

نیازمند است. همچنین داده‌های بالاجوی اطلاعاتی شامل فشار دما رطوبت و باد در جو بالا توسط بالنهای مخصوص اندازه‌گیری می‌شود که در مدل لحاظ شده‌اند. این اطلاعات توسط مرکز هواشناسی استان اندازه‌گیری شده و در این تحقیق استفاده شده است. اطلاعات مربوط به سال ۲۰۱۷ است. با توجه به گلباد شهر اراک که در شکل ۵ نشان داده شده است، برای سال ۲۰۱۷ در ۴۹ درصد روزهای سال شرایط آرام داشته و در این روزها مدل بهترین نتیجه را در بر دارد.

در این تحقیق از داده‌های SRTM1/SRTM3 با دقت ۹۰ در ۹۰ متر که با استاندارد WGS 84 استفاده شده است نقطه مرجع با مشخصات ۳۷۵۵۸۳۴/۳ متر و ۳۵۰۰۷/۸۱ متر در زون ۳۹ انتخاب شده است که در نهایت ابعادی در اندازه ۵۰ در ۳۰ کیلومتر را شامل می‌شود. شبکه گیرندها نیز در ارتفاع ۵ متری از سطح زمین انتخاب شده است. شکل ۶ پستی و بلندی‌های شهر اراک را که در نرم افزار مدل شده است را نمایش می‌دهد.



شکل ۵) گلباد شهر اراک در سال ۹۷



شکل ۶) پستی و بلندی سطح زمین

### ۳- نتایج

با توجه به استاندارد کیفیت هوای آزاد سازمان محیط زیست مدل سازی نحوه پراکنش آلاینده  $\text{NO}_x$  برای متوسط زمانی ۱ ساعته (استاندارد ۲۰۰ میکروگرم بر متر مکعب)، آلاینده  $\text{SO}_2$  برای متوسط زمانی ۱ ساعته (استاندارد ۱۹۶ میکروگرم بر متر مکعب)،  $\text{CO}$  برای متوسط زمانی ۸ ساعته (استاندارد ۱۰۰۰۰ میکروگرم بر متر مکعب)، در ۳۶۵ روز سال ۹۶ شمسی بررسی شده است.

#### ۳-۱- استقلال حل از شبکه

برای استقلال حل از شبکه و به منظور به دست آوردن بهترین شبکه حل، ابتدا شبکه‌ای با بعد ۵۰ کیلومتر در ۳۰ کیلومتر مورد بررسی در حالت بدون طرح ۵۵ متری ایجاد کرده و تعداد این گره‌های شبکه ۱۰۰۰۰ بوده و نتایج خوانده شده است. در مرحله بعد تعداد گره‌های شبکه ایجاد شده بیشتر و ابعاد حجم کنترل به منظور دقیق تر شدن جواب به ۹۰۰۰۰ می‌رسد و نتایج خوانده می‌شود. در مرحله بعد، تعداد گره‌ها به مقدار ۲۵۰۰۰ رسانده و میزان غلظت در این حالت نیز به دست آمده است که تغییرات ناچیز مشاهده و این نتایج در جدول ۳ نشان داده شده است.

#### ۳-۲- صحبت‌سنگی مدل سازی

برای صحبت‌سنگی مدل سازی مقادیر به دست آمده در روزهای مختلف سال به دست آمده و در همان روز مقادیر از روی داده‌ها گرفته شده از محیط‌زیست که شامل پایش ساعت به ساعت در ایستگاه‌های مختلف می‌باشد، خوانده شده و با نتایج حاصل از مدل سازی مقایسه شده است در جدول ۴ غلظتها آورده شده است.

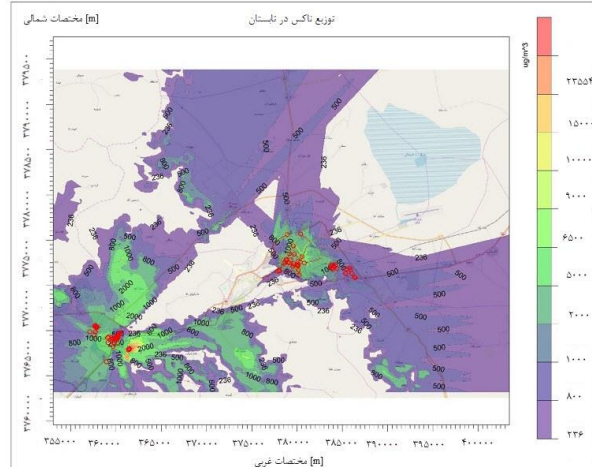
ناشی از وسائل نقلیه در ارak معابر با کیفیت  $B$  و  $C$  انتخاب شدند. تعداد خیابان‌های  $C$  ۱۱ عدد و تعداد خیابان  $B$ ، ۱۳ عدد است که در مجموع ۲۴ خیابان مدل سازی شده است. پس از مشخص شدن معابر جهت مدل سازی انتشار آلاینده‌ها از وسائل نقلیه اطلاعاتی شامل تعداد تردد، مدل و فناوری (انژکتور و کاربراتور) وسائل نقلیه عبوری، نرخ انتشار پایه وسائل نقلیه عبوری، طول معتبر مورد نظر، سرعت متوسط تردد در معتبر، مشخصات سوخت رایج شهری اعم از خودروهای بنزینی یا دیزلی و مشخصات محیطی شروع به مدل سازی می‌کنیم. در مدل سازی انتشار آلاینده‌ها اطلاعات مهم-تر و تأثیرگذارتری وجود دارند که بیشترین تأثیر را در مقدار آلودگی تولیدی دارند. این داده‌ها شامل اطلاعات نحوه رانندگی در یک خیابان خاص می‌باشد. این اطلاعات بیانگر میزان ترافیک، توقف-ها مانند چراغ قرمزها و کاهش سرعت مانند سرعت گیرها می‌باشد. برای این منظور توسط دستگاه GPS و با استفاده از سرعت لحظه-ای، شتاب لحظه‌ای و شبیب معتبر قدرت مشخصه خودرو را بدست آورده و به کمک تنش موتور الگوی رانندگی در آن معتبر مشخص می‌شود و در پایان نرخ انتشار هر معتبر بر حسب  $\text{g}/\text{s}$  بدست می‌آید. تا اینجا کار بر اساس شرایط موجود بر شهر ارak مدل سازی انجام شده است. از این پس طرح ۵۵ متری را بررسی کرده و تمامی پارامترهای پیش‌بینی شده برای این طرح را با استفاده داده‌های بروز شده انجام داده و در ادامه مقایسه ای بین نتایج در حالت کنونی و شهر با وجود طرح ۵۵ متری انجام می‌شود.

جدول ۳) استقلال حل از شبکه

ردیف	ردیف شده برای آلاینده $\text{NO}_x$	مکان غلظت اندازه‌گیری	y	x	غلظت در میانه $\mu\text{g}/\text{m}^3$	اختلاف مش $\mu\text{g}/\text{m}^3$	اختلاف مش $\mu\text{g}/\text{m}^3$	اختلاف مش $\mu\text{g}/\text{m}^3$	اختلاف مش $\mu\text{g}/\text{m}^3$			
۱	استانداری	۳۷۷۴۲۳۹/۴	۳۸۲۷۲۶/۲									
۲	محیط زیست	۳۷۰۴۷۲/۲	۳۸۴۹۷۱/۴									
۳	میدان شریعتی	۳۷۷۱۵۳۸/۳	۳۷۷۸۷۸۶/۷									
۴	پارک امیر کبیر	۳۷۷۱۹۱۴/۳۳	۳۷۸۰۲۹/۰۷									
۵	میدان امام	۳۷۷۰۸۰۳/۴	۳۸۷۱۴۰/۸									
۶	دانشگاه ارak	۳۷۷۱۵۴۹	۳۷۷۳۹۵۷/۶									
۷	میدان ولی عصر	۳۷۷۲۱۷۸/۶	۳۸۰۰۴۹/۶									
۸	ایستگاه هوریبا	۳۷۷۳۳۹۷/۷	۳۷۷۱۰۸/۹									

جدول ۴) مقایسه غلظت اندازه‌گیری شده توسط ایستگاه و مدل سازی شده

ردیف	موقعیت	x	y	غلظت ماذکریم مدل سازی شده $\mu\text{g}/\text{m}^3$	غلظت ماذکریم اندازه‌گیری شده $\mu\text{g}/\text{m}^3$	تاریخ
ناکس	ایستگاه ۱	۳۸۲۷۲۶/۲	۳۷۷۴۲۳۹/۴	۴۱۹/۵۵	۴۰۷	۳۰ آذر
	ایستگاه ۲	۳۷۷۹۲۸/۴	۳۷۷۱۵۷۳/۸	۲۹/۶۹	۲۲/۷	۱۹ بهمن
	ایستگاه ۳	۳۷۹۸۱۴/۹	۳۷۷۴۷۴۶/۴	۱۸۴/۰/۹۶	۱۸۴۰	۲ آبان
مونوکسید کربن	ایستگاه ۱	۳۸۲۷۲۶/۲	۳۷۷۴۲۳۹/۴	-	۲۱۴۰	۱۸ شهریور
	ایستگاه ۲	۳۷۷۹۲۸/۴	۳۷۷۱۵۷۳/۸	۶۴۵۸/۹	۶۴۴۸/۷۹	۲ بهمن
	ایستگاه ۳	۳۷۹۸۱۴/۹	۳۷۷۴۷۴۶/۴	۶۷۲۲/۲۹	۵۳۸۶/۸۶	۳ بهمن
دی اکسید گوگرد	ایستگاه ۱	۳۸۲۷۲۶/۲	۳۷۷۴۲۳۹/۴	-	۱۲۵/۶۹	۲۰ اردیبهشت
	ایستگاه ۲	۳۷۷۹۲۸/۴	۳۷۷۱۵۷۳/۸	۶۴/۹۷	۵۶/۴۶	۲۰ اردیبهشت
	ایستگاه ۳	۳۷۹۸۱۴/۹	۳۷۷۴۷۴۶/۴	-	۱۲۱/۳۶	۲۰ اردیبهشت

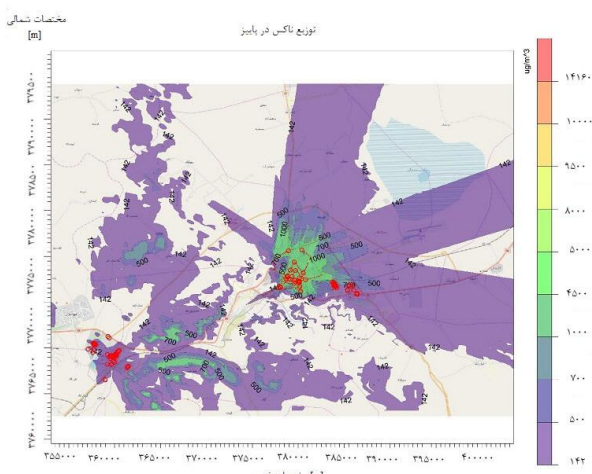


شکل ۸) توزیع NOx در فصل تابستان

**۳-۳-۲- غلظت بیشینه  $\text{NO}_x$  در فصل پاییز**  
با توجه به شکل ۹ در شهر اراک در فصل پاییز تغییرات بیشتری در نقاط بررسی شده را شاهد بوده به طوری که تنها ۲ نقطه بدون تغییر باقیمانده‌اند و باقی نقاط دستخوش تغییراتی شده‌اند. ۵ نقطه افزایش غلظت و ۳ نقطه کاهش را تجربه کرده‌اند. به صورت کلی میزان غلظت میانگین افزایش ۳ درصدی را در صورت انجام طرح ساخت معابر جدید در فصل پاییز تجربه می‌کند. غلظت بیشینه در شرایط کنونی و طرح ساخت معابر جدید در هر دو حالت مربوط به میدان ولی‌عصر بوده گرچه این میزان ۲۳ درصد کاهش پیدا می‌کند ولی این میزان ۱۳ برابر حالت استاندارد است.

#### ۴-۳-۳- غلظت بیشینه $\text{NO}_x$ در فصل زمستان

با توجه به شکل ۱۰ در شهر اراک در فصل زمستان ۶ نقطه کماکان بدون تغییر در صورت انجام طرح ساخت معابر جدید باقی می‌مانند و فقط ۲ نقطه کاهش داشته‌اند و باقی موارد افزایش داشته‌اند. به طور کلی در ۱۲ نقطه مورد بررسی در حالت میانگین‌گیری تنها ۱ درصد کاهش آلودگی هوا داشته است. در صورت میانگین‌گیری تمامی نقاط به عدد ۱۰۸.۷۲ میکروگرم بر مترمکعب رسیده که این



شکل ۹) توزیع NOx در فصل پاییز

#### ۳-۳-۳- توزیع آلینده‌ها در کلان شهر اراک قبل و بعد از اجرای طرح

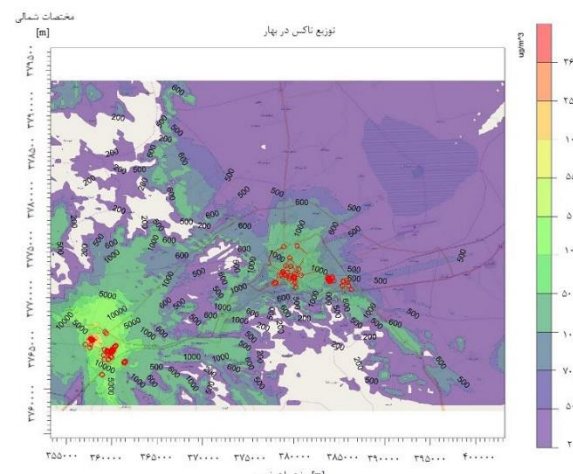
##### ۱-۳-۳- ۱- غلظت بیشینه $\text{NO}_x$ در فصل بهار

حال در ادامه کانتورهای مدل‌سازی آورده شده است که برای هر فصل به طور مجزا محاسبه شده است.

با توجه به شکل ۷ در شهر اراک در ۶ نقطه از ۱۲ نقطه بررسی شده هیچ تفاوتی ایجاد نشده و بدون تغییر باقیمانده‌اند. این طرح ساخت معابر جدید برای شهر اراک در این فصل باعث کاهش ۴۵ درصدی نقطه بیشینه در شرایط حاضر را در بر دارد و مقدار غلظت ۵۱۰۰ میکروگرم بر مترمکعب به مقدار ۲۸۱۴ میکروگرم بر مترمکعب می‌رسد و این یعنی در صورت انجام این طرح تأثیر قابل توجهی بر این نقطه که یکی از شریان‌های اصلی شهر است می‌گذارد ولی اگر به طور کلی برای ۱۲ نقطه بررسی شده میانگین‌گیری کرده به عددی همچون ۳ درصد کاهش رسیده و تأثیر کلی این طرح برای کاهش آلودگی هوا تنها ۳ درصد می‌باشد. نقطه ضعف این طرح در اینجا مشخص می‌شود که در صورت انجام این طرح، هیچ نقطه‌ای از شهر به حد استاندارد نرسیده و به طور کلی ۸.۴ برابر حد استاندارد بوده است و تفاوتی برای سلامت شهروندان ایجاد نمی‌کند.

##### ۲-۳-۳- ۲- غلظت بیشینه $\text{NO}_x$ در فصل تابستان

با توجه به شکل ۸ در شهر اراک کماکان نقاطی بدون تغییر داشته این تعداد به ۷ عدد رسیده است. نکته قابل توجه در جدول افزایش ۱۰ درصد در نقطه شریعتی است. این افزایش شدید در نتیجه ترافیک معابر جدید بر این نقطه است و این بزرگراه از این نقطه گذر می‌کند. البته در نقطه میدان ولی‌عصر این شرایط متفاوت بوده و کاهش ۴۸ درصدی را شاهد بوده و تبدیل غلظت ۵۰۲۰ میکروگرم بر مترمکعب به ۲۵۹۱ نتیجه این طرح بوده است. البته کماکان به صورت میانگین ۵.۶ برابر حالت مجاز در صورت انجام طرح بر شهر اراک آلینده وجود دارد. نقطه بیشینه مربوط به میدان شورا با غلظت ۲۹۲۳ میکروگرم بر مترمکعب است.



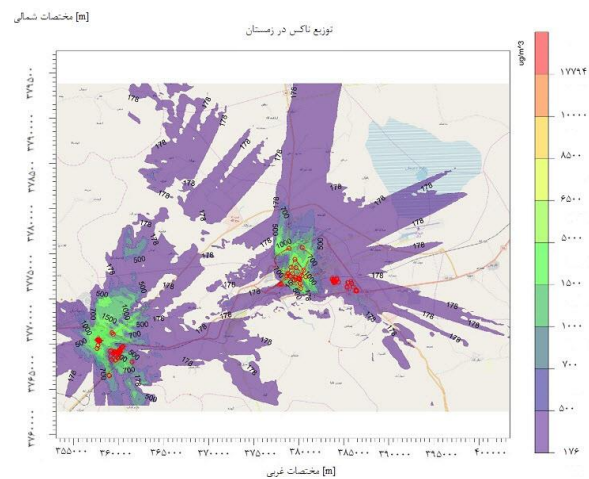
شکل ۷) توزیع NOx در فصل بهار

### ۶-۳-۳- غلظت بیشینه دی اکسید گوگرد در فصل تابستان

با مشاهده کانتور شکل ۱۲ و میزان غلظت آلینده SO<sub>2</sub> در فصل تابستان می‌توان استنتاج کرد تمامی نقاط بررسی شده در وضعیت بحرانی قرارگرفته‌اند و تغییری در اعداد در مقایسه شهر با طرح ۵۵ متری و بدون ان مشاهده نمی‌شود به طور میانگین مقداری برابر ۲۶۰۶ میکروگرم بر مترمکعب را داراست که ۱۳ برابر حالت مجاز است در بدترین شرایط تا ۲۶ برابر در نقطه میدان شهدا (A2) می‌باشد با مقایسه میزان غلظت این آلینده درصورتی که فقط منابع متحرک مدل شده باشد با حالت کلی، می‌توان گفت که خودرو در میزان غلظت تأثیری ناچیز دارد و تمامی آن مربوط به صنایع می‌باشد.

### ۷-۳-۴- غلظت بیشینه دی اکسید گوگرد در فصل پاییز

با بررسی کانتور شکل ۱۳ و میزان غلظت آلینده SO<sub>2</sub> در فصل پاییز می‌توان گفت که استنتاج کرد تمامی نقاط بررسی شده در وضعیت بحرانی قرارگرفته‌اند و تفاوتی با شرایط قبل از احداث معابر جدید وجود ندارد. در برخی از نقاط در این فصل بهبود و سایر موارد اوضاع وخیمتر شده است. به طور میانگین ۸ درصد بهبود در تمامی نقاط می‌توان مشاهده نمود. با مقایسه میزان غلظت این فصل با فصول

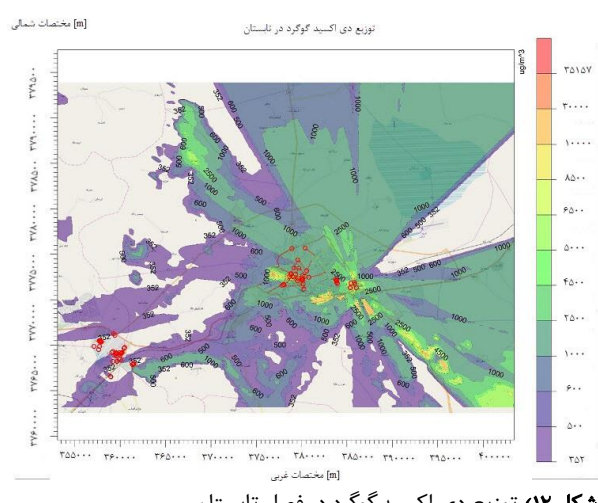


شکل ۱۰) توزیع NOx در فصل زمستان

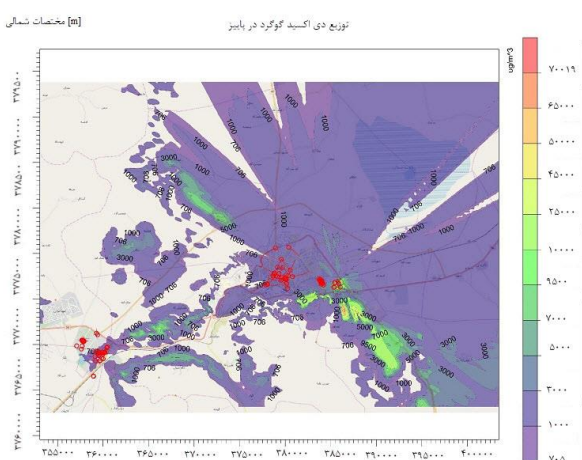
میزان ۵ برابر حالت استاندارد است و کماکان ضعف این طرح را نشان می‌دهد در فصل زمستان یک نقطه کمتر از میزان استاندارد موجود می‌باشد و باقی موارد بالای حد استاندارد است. نقطه بیشینه در شرایط کنونی مربوط به میدان ولی‌عصر بوده که در صورت انجام طرح با در نظر گرفتن کاهش ۲۷ درصدی کماکان نقطه بیشینه در فصل زمستان است.

### ۷-۳-۵- غلظت بیشینه دی اکسید گوگرد در فصل بهار

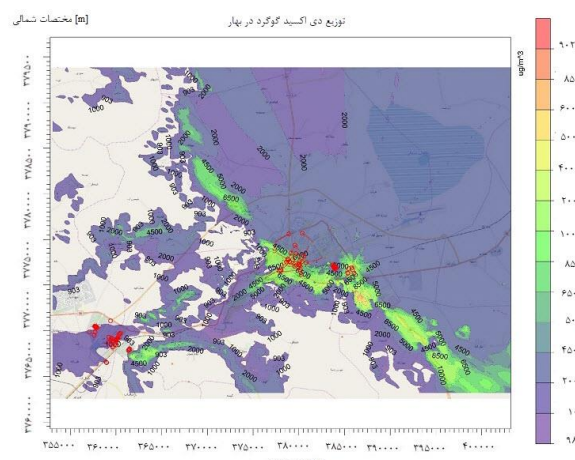
با توجه به شکل ۱۱ در شهر اراک SO<sub>2</sub> در فصل بهار تغییر خاصی صورت نگرفته است و تنها یک نقطه افزایش ۶ درصدی را داشته است. میانگین کلی غلظت ۱۱ نقطه افزایش ۶ درصدی بر مترمکعب بوده که این میزان بالاتر از حد استاندارد و ۳۹ میکروگرم بر است. نقطه بیشینه مربوط به شریعتی بوده و میزان غلظت آن ۱۳۷۲۲ میکروگرم بر مترمکعب است که ۷۰ برابر حالت استاندارد است. با توجه به کانتور و جدول میزان آلینده SO<sub>2</sub> در فصل بهتر می‌توان مشاهده نمود که تمامی نقاط در وضعیت خطرناک قرار دارند و این اعداد بالاترین حد آلودگی را در میان آلینده‌های مورد بررسی شامل می‌شود و این فاجعه‌ای برای سلامت شهروندان می‌باشد.



شکل ۱۱) توزیع دی اکسید گوگرد در فصل تابستان



شکل ۱۳) توزیع دی اکسید گوگرد در فصل پاییز

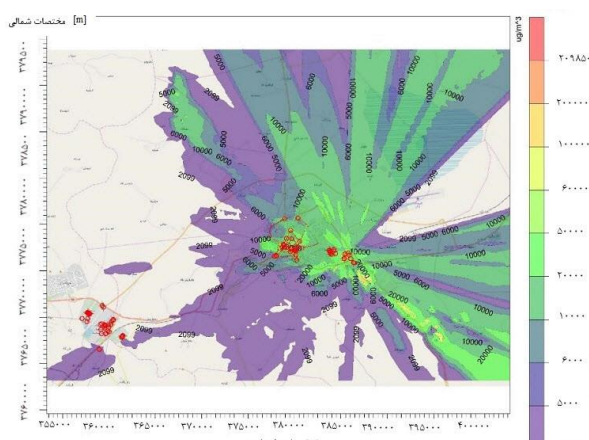


شکل ۱۱) توزیع دی اکسید گوگرد در فصل بهار

میانگین درصد کاهش غلظت بر اثر ساخت معابر جدید در نقاط بررسی شده ۳ درصد بوده است ولی بیشترین کاهش از غلظت میکروگرم بر مترمکعب به  $51016$  میکروگرم بر مترمکعب است که ۳۵ درصد در نقطه میدان ولیعصر است. به طور کلی میانگین غلظت نقاط بررسی شده  $3/2$  برابر حالت استاندارد است.

**۱۰-۳-۲- غلظت بیشینه مونوکسید کربن در فصل تابستان**  
با مشاهده کانتور شکل ۱۶ و میزان غلظت آلاینده  $CO$  در فصل تابستان و مقایسه آن با شرایط بعد از احداث خیابان  $55$  متری می‌توان نتیجه گرفت که میزان غلظتها در  $8$  نقطه بررسی شده در محدوده غیرمجاز قرارگرفته‌اند. و در  $7$  نقطه مورد بررسی تغییر غلظت وجود نداشته است. در فصل تابستان نسبت به فصل بهار در نقاط بررسی شده کاهش آلودگی  $43$  درصدی را شاهد هستیم که مربوط به تغییر الگوی آب و هوای تغییرات در صنایع است. همچنان سهم خودرو تأثیری فزاینده می‌گذارد طبق کانتور این فصل در حومه کارخانه آلومینیوم سازی اوضاع وخیمتر بوده و این شرایط در فصل قبل هم دیده شده است. در میان نقاط بررسی شده بیشترین مقدار  $31300$  میکروگرم بر مترمکعب بوده که  $3/1$  برابر  $26013$  متر است. بیشترین کاهش از مقدار  $49800$  به  $49800$  میکروگرم بر مترمکعب رسیده که کاهش  $48$  درصدی را دارد. این کاهش در اثر ایجاد معابر جدید است. ولی کماکان این میزان  $2/6$  برابر حالت استاندارد است. به طور میانگین کاهش  $9$  درصدی در اثر ایجاد خیابان  $55$  متری قابل دست یافتن است.

**۱۱-۳-۳- غلظت بیشینه مونوکسید کربن در فصل پاییز**  
با بررسی کانتور شکل ۱۷ و میزان غلظت آلاینده  $CO$  در فصل پاییز و مقایسه آن با شرایط بعد از احداث خیابان  $55$  متری می‌توان نتیجه گرفت که میزان غلظتها در  $8$  نقطه بررسی شده در محدوده غیرمجاز قرارگرفته‌اند. متوسط میزان غلظت در فصل پاییز نسبت به فصل بهار در نقاط بررسی شده کاهش آلودگی  $51$  درصد را می‌توان مشاهده نمود. همچنین بیشینه میزان غلظت آلاینده  $CO$  در نقاط بررسی شده نیز به مقدار  $26700$  میکروگرم بر مترمکعب رسیده است. بیشترین کاهش در صورت انجام طرح ساخت معابر جدید



شکل ۱۶) توزیع مونوکسید کربن در فصل تابستان

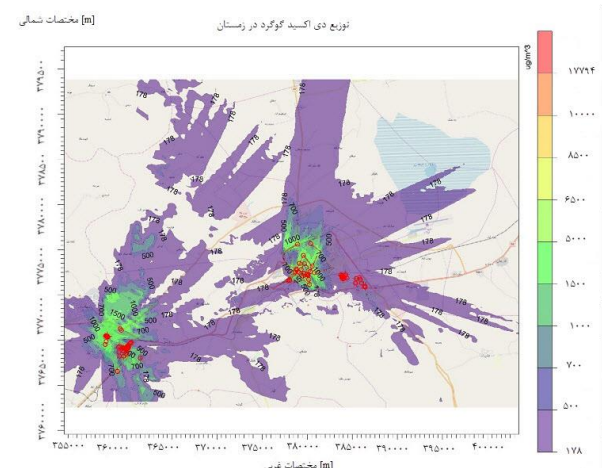
قبلی استنتاج می‌شود که میزان غلظت آلاینده کمتر از فصل تابستان است که گویای تأثیر الگوی آب هوای منطقه بر پخش آلودگی است، مانند فصول قبلی تأثیر خودرو ناچیز بوده است.

#### ۸-۳-۳- غلظت بیشینه دی اکسید گوگرد در فصل زمستان

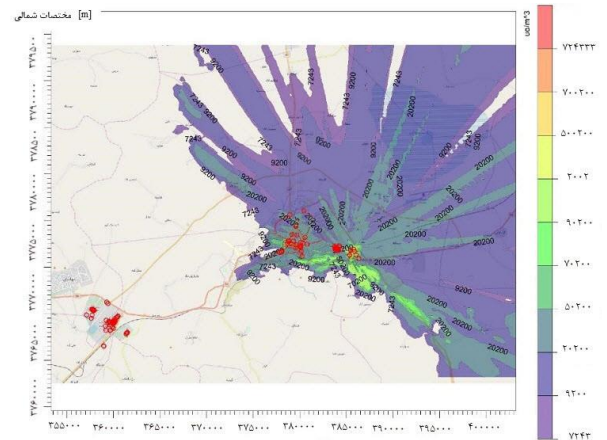
با بررسی کانتور شکل ۱۴ و میزان غلظت آلاینده  $SO_2$  در فصل زمستان می‌توان نتیجه گرفت که میزان غلظتها در نقاط بررسی شده در وضعیت بحرانی قرارگرفته‌اند و مانند فصول قبلی تغییر در بودن یا نبودن طرح  $55$  متری ایجاد نمی‌شود. در  $83$  درصد از نقاط در این فصل بهبود نسبت به فصل قبل و سایر موارد اوضاع خیمتر شده است. به طور میانگین  $37$  درصد بهبود در نقاط شهری می‌توان مشاهده نمود؛ مانند فصول قبلی تأثیر خودرو ناچیز بوده است.

#### ۹-۳-۳- غلظت بیشینه مونوکسید کربن در فصل بهار

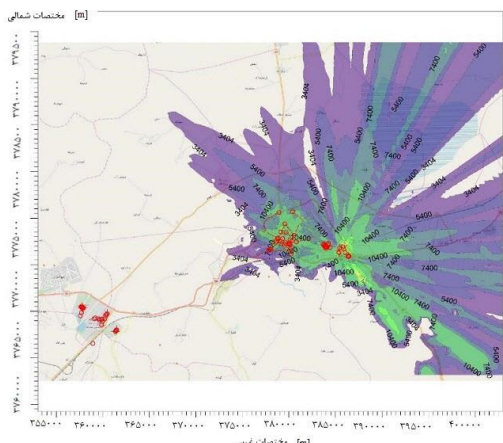
با بررسی کانتور شکل ۱۵ و میزان غلظت آلاینده  $CO$  در فصل بهار و مقایسه آن با شرایط بعد از احداث خیابان  $55$  متری می‌توان نتیجه گرفت که میزان غلظتها در  $8$  نقطه بررسی شده بدون تغییر باقی مانده است. بیشترین غلظت در بین نقاط بررسی شده مربوط به نقطه میدان شهداء (A2) با غلظتی برابر با  $54523$  میکروگرم بر مترمکعب است که مقدار  $5/4$  برابر حالت استاندارد است.



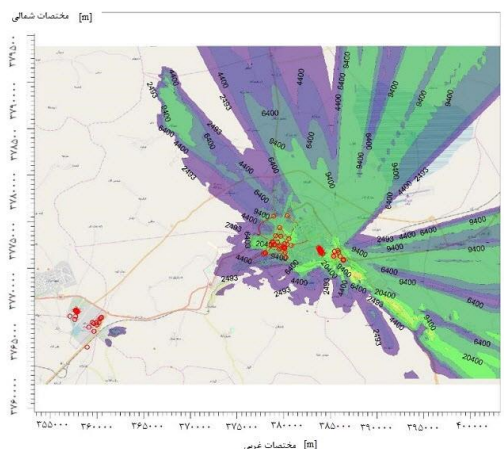
شکل ۱۴) توزیع دی اکسید گوگرد در فصل زمستان



شکل ۱۵) توزیع مونوکسید کربن در فصل بهار



شکل ۱۸) توزیع مونوکسید کربن در فصل زمستان



شکل ۱۷) توزیع مونوکسید کربن در فصل پاییز

تغییر باقیمانده‌اند به طور میانگین تأثیر این طرح بر کلیه نقاط ۴ درصد کاهش است. در پایان خاطرنشان می‌گردد، جزئیات کمی میزان آلایندگی قبل و بعد از احداث بزرگراه امیرکبیر در جداول ۵ تا ۷ برای هر سه آلایندگی مذکور ارائه و مقایسه شده است.

#### ۴- نتیجه‌گیری

هوای اراک از نظر داشتن عوامل آلوده‌کننده از پایتخت ایران آلوده‌تر است. ورود حجم زیادی از آلودگی‌ها به این شهر نشان می‌دهد که درصد بالایی از آلودگی در شهری با وسعت کم متمرکزشده است و این حجم از آلودگی هم برای انسان و هم برای محیط‌زیست بسیار خطرناک است. به منظور کاهش آلودگی هوای شهر، دولت ایران در سال ۲۰۰۷ طرحی با نام طرح جامع، احداث بزرگراهی به نام امیرکبیر (۵۵ متری) تصویب شد که شرق و غرب اراک را به هم متصل می‌نماید. در این مقاله تأثیر احداث این بزرگراه بر میزان کاهش آلایندگی هوای شهر اراک بررسی شد. در

از مقدار ۴۹۸۰۰ به ۲۶۰۷ میکروگرم بر مترمکعب رسیده است. که کاهش ۳۸ درصدی را شاهد بوده البته ۸ نقطه بدون تغییر باقیمانده‌اند به طور میانگین تأثیر این طرح بر کلیه نقاط ۴ درصد کاهش است.

#### ۱۲-۳-۳- غلظت بیشینه مونوکسید کربن در فصل زمستان

با توجه به کانتور شکل ۱۸ و میزان غلظت آلایندگ CO در فصل پاییز و مقایسه آن با شرایط بعد از احداث خیابان ۵۵ متری می‌توان نتیجه گرفت که میزان غلظت‌ها در ۷ نقطه بررسی شده در محدوده غیرمجاز قرارگرفته‌اند. در فصل زمستان کاهش ۶۵ درصدی متوسط غلظت‌های نقاط بررسی شده به نسبت متوسط غلظت فصل بهار را می‌توان مشاهده کرد. همچنین بیشینه میزان غلظت آلایندگ CO در نقاط بررسی شده نیز به مقدار ۲۲۰۱۱ میکروگرم بر مترمکعب رسیده است. بیشترین کاهش در صورت انجام طرح ساخت معابر جدید از مقدار ۳۳۳۰۸ به ۱۴۰۰۰ میکروگرم بر مترمکعب رسیده است. که کاهش ۵۵ درصدی را شاهد بوده البته ۲ نقطه بدون

جدول ۵) میزان غلظت مونوکسید کربن قبل و بعد از اجرای طرح ۵۵ متری

ردیف	مکان غلظت اندازه گیری شده برای آلایندگ NO <sub>x</sub>	تابستان										بهار											
		۵۵ متري متری/ m <sup>3</sup>																					
۱	میدان شورا	۲۲۸۰	۲۵۱۴	%-۳۰	۳۲۵۰	۲۲۸۰	%-۵	۳۰۹۱	۲۹۲۳	%۰	۴۱۸۰	۴۱۸۰	۳۷۷۷۲۸۱۴	۳۷۸۸۴۵/۲	۳۷۷۷۲۸۱۴	۳۷۸۸۴۵/۲	۳۷۹۰۳۹	۳۷۹۰۳۹	۳۷۹۰۳۹	۳۷۹۰۳۹			
۲	باغ ملی	۱۴۱۳	۱۲۲۳	%۷	۱۲۴۳	۱۳۴۲	%۰	۱۷۶۰	۱۷۶۰	%۶	۱۹۰۰	۲۰۱۰	۳۷۷۷۲۵۱۶	۳۷۹۰۳۹	۳۷۷۷۲۵۱۶	۳۷۹۰۳۹	۳۷۹۰۳۹	۳۷۹۰۳۹	۳۷۹۰۳۹	۳۷۹۰۳۹			
۳	استانداری	۳۷۵	۴۱۶	%-۱	۱۱۴۰	۱۱۳۲	%۰	۳۹۲	۳۹۲	%-۱	۹۸۵	۹۷۲	۳۷۷۷۲۴۲۹	۳۸۲۷۲۶/۲	۳۷۷۷۲۴۲۹	۳۸۲۷۲۶/۲	۳۸۲۷۲۶/۲	۳۸۲۷۲۶/۲	۳۸۲۷۲۶/۲	۳۸۲۷۲۶/۲	۳۸۲۷۲۶/۲		
۴	محیط زیست	۲۷۳	۲۷۴	%۲	۳۲۸	۳۳۶	%۰	۷۰۹	۷۰۹	%۰	۷۱۹	۷۱۹	۳۷۷۷۰۴۷۲	۳۸۴۹۷۱/۴	۳۷۷۷۰۴۷۲	۳۸۴۹۷۱/۴	۳۸۴۹۷۱/۴	۳۸۴۹۷۱/۴	۳۸۴۹۷۱/۴	۳۸۴۹۷۱/۴	۳۸۴۹۷۱/۴		
۵	میدان شیعیتی	۵۲۴	۵۲۴	%۵۷	۸۱۳	۱۲۷۳	%۱۰۱	۵۹۲	۱۱۹۰	%۱	۱۵۵۰	۱۵۶۴	۲۷۷۱۵۳۸	۳۷۷۸۷۶/۷	۲۷۷۱۵۳۸	۳۷۷۸۷۶/۷	۳۷۷۸۷۶/۷	۳۷۷۸۷۶/۷	۳۷۷۸۷۶/۷	۳۷۷۸۷۶/۷	۳۷۷۸۷۶/۷		
۶	پارک امیرکبیر	۱۲۰	۱۲۰	%۳	۱۸۸۱	۱۹۴۰	%۲	۱۳۴۰	۱۳۷۰	%۳	۱۸۷۰	۱۹۲۳	۳۷۷۷۱۹۱۴	۳۷۸۰۲۹/۰۷	۳۷۷۷۱۹۱۴	۳۷۸۰۲۹/۰۷	۳۷۸۰۲۹/۰۷	۳۷۸۰۲۹/۰۷	۳۷۸۰۲۹/۰۷	۳۷۸۰۲۹/۰۷	۳۷۸۰۲۹/۰۷		
۷	میدان امام	۲۰۷	۲۲۷	%۲	۲۹۷	۳۰۲	%۰	۶۰۵	۶۰۲	%۰	۶۴۷	۶۴۷	۳۷۷۰۸۰۳	۳۸۷۱۴۰/۸	۳۷۷۰۸۰۳	۳۸۷۱۴۰/۸	۳۸۷۱۴۰/۸	۳۸۷۱۴۰/۸	۳۸۷۱۴۰/۸	۳۸۷۱۴۰/۸	۳۸۷۱۴۰/۸		
۸	دانشگاه اراک	۱۹۲	۱۹۲	%۰	۵۲/۳	۵۲/۳	%۰	۴۱/۹	۴۱/۹	%۰	۹۳۵	۹۳۵	۳۷۷۱۵۴۹	۳۷۳۹۵۷/۶	۳۷۷۱۵۴۹	۳۷۳۹۵۷/۶	۳۷۳۹۵۷/۶	۳۷۳۹۵۷/۶	۳۷۳۹۵۷/۶	۳۷۳۹۵۷/۶	۳۷۳۹۵۷/۶	۳۷۳۹۵۷/۶	
۹	سمنگان	۲۹۵	۲۹۵	%۰	۳۲۵	۳۲۵	%۰	۷۱۲	۷۱۲	%۰	۱۸۸۰	۱۸۸۰	۳۷۶۴۸۳۹	۳۶۷۰۷۸/۹	۳۷۶۴۸۳۹	۳۶۷۰۷۸/۹	۳۶۷۰۷۸/۹	۳۶۷۰۷۸/۹	۳۶۷۰۷۸/۹	۳۶۷۰۷۸/۹	۳۶۷۰۷۸/۹		
۱۰	میدان ولی عصر	۵۴۲۰	۳۹۶۰	%-۲۳	۳۳۶۰	۲۵۹۴	%-۴۸	۵۰۲۰	۲۵۹۱	%-۴۵	۵۱۰۰	۲۸۱۴	۳۷۷۲۱۷۹	۳۸۰۰۳۹/۶	۳۷۷۲۱۷۹	۳۸۰۰۳۹/۶	۳۸۰۰۳۹/۶	۳۸۰۰۳۹/۶	۳۸۰۰۳۹/۶	۳۸۰۰۳۹/۶	۳۸۰۰۳۹/۶	۳۸۰۰۳۹/۶	
۱۱	ایستگاه هوریبا	۲۵۱	۲۵۱	%۱۶	۲۲۶	۲۶۳	%۰	۲۲۱	۲۲۱	%۰	۸۸۶	۸۸۶	۳۷۷۲۳۴۹	۳۷۷۲۱۸/۹	۳۷۷۲۳۴۹	۳۷۷۲۱۸/۹	۳۷۷۲۱۸/۹	۳۷۷۲۱۸/۹	۳۷۷۲۱۸/۹	۳۷۷۲۱۸/۹	۳۷۷۲۱۸/۹	۳۷۷۲۱۸/۹	۳۷۷۲۱۸/۹

جدول ۶) میزان غلظت دی اکسید گوگرد قبل و بعد از اجرای طرح ۵۵ متری

ردیف گیری شده برای آلینده NO <sub>x</sub>	مکان غلظت اندازه	y	x	بهار	۵۵ متری	درصد اختلاف بهار	تابستان	۵۵ متری	درصد اختلاف تابستان	تابستان	۵۵ متری	درصد اختلاف تابستان	پاییز	۵۵ متری	درصد اختلاف پاییز	زمستان	۵۵ متری	درصد اختلاف زمستان	زمستان	۵۵ متری	درصد اختلاف زمستان	زمستان	۵۵ متری	درصد اختلاف زمستان	زهم خودرو
۱	میدان شورا	۳۷۷۷۲۸۱۴	۳۷۸۸۴۵/۲	۱۰۷۰۰	۱۰۷۰۰	%۰	۴۰۲۰	۴۰۲۰	%۰	۲۶۵۰	۲۶۵۰	%۰	۱۷۸۲	۱۷۸۲	%۰	۱۷۸۳	۱۷۸۳	%۰	۱۷۷۴	۱۷۷۴	%۰	۱۷۷۲	۱۷۷۲	%۰	%۱
۲	باغ ملی	۳۷۷۷۲۵۱۶	۳۷۹۰۳۹	۱۱۱۰۰	۱۱۱۰۰	%۰	۵۲۸۰	۵۲۷۲	%۰	۲۷۰۲	۲۷۰۱	%۰	۱۷۲۰	۱۷۲۰	%۰	۲۲۰۰	۲۲۰۰	%۰	۱۷۲۰	۱۷۲۰	%۰	%۱			
۳	استانداری	۳۷۷۷۴۲۳۹	۳۸۲۷۲۶/۲	۳۵۸۰	۳۵۸۰	%۶	۲۰۹۲	۲۰۹۲	%۰	۳۵۲۱	۳۵۲۱	%۰	۱۶۷۰	۱۶۷۰	%۰	۳۵۲۱	۳۵۲۱	%۰	۱۶۷۰	۱۶۷۰	%۰	%۰			
۴	محیط زیست	۳۷۷۷۴۷۲	۳۸۴۹۷۱/۴	۳۹۱۰	۳۹۱۰	%۰	۳۱۰۴	۳۱۰۴	%۰	۱۹۴۴	۱۹۴۴	%۰	۱۱۸۲	۱۱۸۲	%۰	۱۷۸۰	۱۷۸۰	%۰	۱۱۸۰	۱۱۸۰	%۰	%۱			
۵	میدان شریعتی	۳۷۷۷۱۵۳۸	۳۷۷۸۷۶/۷	۱۳۷۲۲	۱۳۷۲۲	%۰	۱۹۴۴	۱۹۴۴	%۰	۱۷۸۰	۱۷۸۰	%۰	۱۱۷۰	۱۱۷۰	%۰	۱۹۹۲	۱۹۹۲	%۰	۱۹۹۲	۱۹۹۲	%۰	%۱			
۶	پارک امیر کبیر	۳۷۷۷۱۹۱۴	۳۷۸۰۲۹/۰۷	۳۹۱۰	۳۹۱۰	%۰	۲۶۲۱	۲۶۲۱	%۰	۱۰۶۰۰	۱۰۶۰۰	%۰	۳۰۹۰	۳۰۹۰	%۰	۳۵۲۱	۳۵۲۱	%۰	۱۶۷۰	۱۶۷۰	%۰	%۰			
۷	میدان امام	۳۷۷۷۰۸۰۳	۳۸۷۱۴۰/۸	۴۶۴۰	۴۶۴۰	%۰	۳۰۶۴	۳۰۶۴	%۰	۸۰۴	۸۰۴	%۰	۶۸۰	۶۸۰	%۰	۳۵۲۱	۳۵۲۱	%۰	۳۰۹۰	۳۰۹۰	%۰	%۰			
۸	دانشگاه اراک	۳۷۷۷۱۵۴۹	۳۷۳۹۵۷/۶	۱۱۱۰	۱۱۱۰	%۰	۸۰۴	۸۰۴	%۰	۴۲۱	۴۲۱	%۰	۲۷۲۱	۲۷۲۱	%۰	۶۵۶	۶۵۶	%۰	۲۷۲۱	۲۷۲۱	%۰	%۰			
۹	سمنگان	۳۷۶۴۸۱۳۹	۳۶۷۰۷۸/۹	۲۰۹۰	۲۰۹۰	%۰	۴۲۱	۴۲۱	%۰	۴۲۱	۴۲۱	%۰	۲۷۲۱	۲۷۲۱	%۰	۶۵۶	۶۵۶	%۰	۱۶۷۰	۱۶۷۰	%۰	%۰			
۱۰	میدان ولی عصر	۳۷۷۷۲۱۷۹	۳۸۰۰۳۹/۶	۷۴۷۲	۷۴۷۲	%۰	۳۳۵۰	۳۳۵۰	%۰	۲۶۹۰	۲۶۹۰	%۰	۱۶۷۰	۱۶۷۰	%۰	۳۵۲۱	۳۵۲۱	%۰	۱۶۷۰	۱۶۷۰	%۰	%۴			
۱۱	ایستگاه هوریبا	۳۷۷۳۳۹۸	۳۷۷۱۰۸/۹	۱۵۵۰۰	۱۵۵۰۰	%۰	۳۳۰۰	۳۳۰۰	%۰	۲۴۳۰	۲۴۳۰	%۰	۱۶۲۴	۱۶۲۴	%۰	۲۴۳۰	۲۴۳۰	%۰	۱۶۲۴	۱۶۲۴	%۰	%۰			

جدول ۷) میزان غلظت NO<sub>x</sub> قبل و بعد از اجرای طرح ۵۵ متری

ردیف گیری شده برای آلینده NO <sub>x</sub>	مکان غلظت اندازه	y	x	بهار	۵۵ متری	درصد اختلاف بهار	تابستان	۵۵ متری	درصد اختلاف تابستان	تابستان	۵۵ متری	درصد اختلاف تابستان	پاییز	۵۵ متری	درصد اختلاف پاییز	زمستان	۵۵ متری	درصد اختلاف زمستان	زمستان	۵۵ متری	درصد اختلاف زمستان	زمستان	۵۵ متری	درصد اختلاف زمستان	زهم خودرو
۱	میدان شورا	۳۷۷۷۲۸۱۴/۱	۳۷۸۸۴۵	۴۹۶۴۶	۴۹۶۴۶	%-۱	۳۰۷۰۰	۳۰۷۰۰	%-۱	۲۷۲۴۸	۲۶۷۰۰	%-۲	۲۰۱۱	۲۰۱۱	%-۲	۳۸۳۱۶	۳۸۳۱۶	%-۴۳	۳۸۳۱۶	۳۸۳۱۶	%-۴۳	%۶۸			
۲	باغ ملی	۳۷۷۷۲۵۱۵/۵	۳۷۹۰۳۹	۵۷۰۳۲	۵۷۰۳۲	%-۴	۲۵۵۰۴	۲۵۵۰۴	%-۴	۲۱۱۰۰	۲۱۲۴۱	%۱	۱۴۰۰	۱۴۰۰	%۰	۳۳۰۰	۳۳۰۰	%۰	۳۳۰۰	۳۳۰۰	%۰	%۵۸			
۳	استانداری	۳۷۷۷۴۲۳۹/۴	۳۸۲۷۲۶	۱۹۲۰۰	۱۹۲۰۰	%۰	۱۸۲۰۰	۱۸۲۰۰	%۰	۱۳۵۰۰	۱۳۵۰۰	%۰	۹۶۸۰	۹۶۸۰	%۰	۹۶۷۳	۹۶۷۳	%۹۹	۹۶۸۰	۹۶۸۰	%۰	%۹۹			
۴	محیط زیست	۳۷۷۷۰۸۰۳/۲	۳۸۴۹۷۱	۲۳۱۴۷	۲۳۱۴۷	%۰	۳۱۳۰۰	۳۱۳۰۰	%۰	۲۴۷۰۰	۲۴۷۰۰	%۰	۱۵۳۰۰	۱۵۳۰۰	%۰	۱۵۳۰۰	۱۵۳۰۰	%۰	۱۵۳۰۰	۱۵۳۰۰	%۰	%۲۷			
۵	میدان شریعتی	۳۷۷۷۱۵۳۸/۳	۳۷۷۸۷۷	۴۷۰۰۰	۴۷۰۰۰	%۰	۴۷۰۰۰	۴۷۰۰۰	%۰	۸۰۶۰	۸۰۴۳	%۰	۲۷۴۵۴	۲۷۴۳۶	%۰	۸۳۶۰	۸۳۶۰	%۱۵	۸۳۶۰	۸۳۶۰	%۰	%۵۰			
۶	پارک امیر کبیر	۳۷۷۷۱۹۱۴/۳	۳۷۸۰۲۹	۴۷۱۰۰	۴۷۱۰۰	%۱	۱۷۴۰۰	۱۷۴۰۰	%۰	۱۶۵۸۱	۱۶۵۸۱	%۰	۱۰۶۰۰	۱۰۶۰۰	%۰	۱۰۶۰۰	۱۰۶۰۰	%۰	۱۰۶۰۰	۱۰۶۰۰	%۰	%۲۹			
۷	میدان امام	۳۷۷۷۰۸۰۳/۴	۳۸۷۱۴۱	۱۸۴۴۸	۱۸۴۴۸	%۰	۲۲۸۲۰	۲۲۸۲۰	%۰	۲۲۴۰۰	۲۲۴۰۰	%۰	۱۳۴۰۰	۱۳۴۰۰	%۰	۱۳۴۰۰	۱۳۴۰۰	%۰	۱۳۴۰۰	۱۳۴۰۰	%۰	%۳۰			
۸	دانشگاه اراک	۳۷۷۷۱۵۴۹/۳	۳۷۳۹۵۸	۴۶۴۰۰	۴۶۴۰۰	%۰	۳۹۷۰	۳۹۷۰	%۰	۲۸۲۰	۲۸۲۰	%۰	۴۰۳۴	۴۰۳۴	%۰	۴۰۳۴	۴۰۳۴	%۰	۴۰۳۴	۴۰۳۴	%۰	%۸			
۹	سمنگان	۳۷۶۴۸۱۳۸/۹	۳۶۷۰۷۹	۱۹۷۱	۱۹۷۱	%۰	۲۰۸۳	۲۰۸۳	%۰	۱۵۱۲	۱۵۱۲	%۰	۱۰۱۰	۱۰۱۰	%۰	۱۰۱۰	۱۰۱۰	%۰	۱۰۱۰	۱۰۱۰	%۰	%۰			
۱۰	میدان ولی عصر	۳۷۷۷۲۱۷۸/۶	۳۸۰۰۴۰	۴۶۰۱۳	۴۶۰۱۳	%-۳۵	۲۶۰۱۳	۲۶۰۱۳	%-۳۵	۲۸۴۱۴	۲۸۴۱۴	%-۴۸	۴۹۸۰	۴۹۸۰	%-۴۸	۴۹۸۰	۴۹۸۰	%-۴۸	۴۹۸۰	۴۹۸۰	%-۴۸	%۲۱			
۱۱	ایستگاه هوریبا	۳۷۷۳۳۹۷/۷	۳۷۷۱۰۹	۳۶۸۴۹	۳۶۸۴۹	%۰	۳۶۸۰۰	۳۶۸۰۰	%۰	۱۱۰۳۶	۱۱۰۱۷	%۰	۱۲۵۰۰	۱۲۵۰۰	%۰	۱۱۰۳۶	۱۱۰۱۷	%۰	۱۱۰۳۶	۱۱۰۱۷	%۰	%۱۱			

**سهم نویسندها:** سهم نویسندها در گردآوری این مقاله برابر می باشد.  
**منابع مالی:** نویسندها این مورد را بیان نکردند.

#### منابع

- Taksibi F, Khajehpour H, Saboohi Y. On the environmental effectiveness analysis of energy policies: A case study of air pollution in the megacity of Tehran. Science of The Total Environment. 2020;705:135824.
- Air pollution [Internet]. Who.int. 2020 [cited 9 June 2020]. Available from: [https://www.who.int/health-topics/air-pollution#tab=tab\\_1](https://www.who.int/health-topics/air-pollution#tab=tab_1).
- Pinto JA, Kumar P, Alonso MF, Andreão WL, Pedruzzi R, dos Santos FS, Moreira DM, de Almeida Albuquerque TT. Traffic data in air quality modeling: a review of key variables, improvements in results, open problems and challenges in current research. Atmospheric Pollution Research. 2020;11(3):454-468.
- Torrente-Velásquez JM, Giampietro M, Ripa M, Chifari R. Landfill reactions to society actions: The case of local and global air pollutants of Cerro Patacón in

قسمت نتایج، جزئیات تغییرات میزان آلودگی هوا در شهر اراک قبل و بعد از احداث این بزرگراه مقایسه شد (جداول ۵ تا ۷). نتایج بیانگر آن است که برای آلینده ناکس ۲/۷۵ درصد کاهش، برای مونوکسید کربن ۴ درصد کاهش مشاهده شده است و برای دی اکسید گوگرد بدون تغییر حاصل شده است. در نتیجه اجرای این طرح با هزینه های تأسیس بسیار زیاد، تأثیر زیاد و قابل ملاحظه ای برای بهبود آلینده ها هوا در سطح شهر اراک را به همراه نخواهد داشت. بنابراین با توجه به درصد های بدست آمده و هزینه ساخت این معابر و شرایط بعد از انجام این طرح، گویای این قضیه است که با توجه به تبلیغات انجام شده توسط دولت و پیمانکاران این طرح، آنچنان از اعتبار کافی برخوردار نبوده و باید روش های مطمئن تری با درصد تأثیرگذاری بیشتر همچون برقی کردن ناوگان عمومی و ایجاد محدودیت ترافیکی استفاده کرد.

**تشکر و قدردانی:** نویسندها این مورد را بیان نکردند.  
**تأثیدیه اخلاقی:** نویسندها این مورد را بیان نکردند.  
**تعارض منافع:** نویسندها این مورد را بیان نکردند.

- 18- Pandey JS, Kumar R, Devotta S. Health risks of NO<sub>2</sub>, SPM and SO<sub>2</sub> in Delhi (India). *Atmospheric Environment*. 2005;39(36):6868-6874.
- 19- Damuchali AM, Guo H. Developing an odour emission factor for an oil refinery plant using reverse dispersion modeling. *Atmospheric Environment*. 2020;222:117167.
- 20- de Ferreyro Monticelli D, Santos JM, Dourado HO, Moreira DM, Reis Jr NC. Assessing particle dry deposition in an urban environment by using dispersion models. *Atmospheric Pollution Research*. 2020;11(1):1-10.
- 21- Dunkerley F, Spanton AM, Hall DJ, Bennett M, Griffiths RF. An intercomparison of the AERMOD, ADMS and ISC dispersion models for regulatory applications: Dispersion over terrain. In 7th International Conference on Harmonisation within Atmospheric Dispersion Modelling for Regulatory Purposes. Joint Research Centre, Environment Institute. 2001;52-56.
- 22- Valencia VH, Hertel O, Ketzel M, Levin G. Modeling urban background air pollution in Quito, Ecuador. *Atmospheric Pollution Research*. 2020;11(4):646-666.
- Panama. *Science of The Total Environment*. 2020;706:135988.
- 5- Tayarani M, Rowangould G. Estimating exposure to fine particulate matter emissions from vehicle traffic: Exposure misclassification and daily activity patterns in a large, sprawling region. *Environmental research*. 2020;182:108999.
- 6- Ghanbari Fard, R., Safavi, A., Setoodeh, P. The traffic flow effect modeling on the air pollution of Shiraz city. *Journal of Environmental Sciences Research Institute*. 2017;15(1):157-174.
- 7- Noorpoor A, Kazemi Shahabi N. Dispersion modeling of air pollutants from the Ilam cement factory stack. *Journal of Civil and Environmental Engineering*. 2014;44(74):107-116.
- 8- Ramavandi, B., Ahmadi Moghaddam, M., Shah Heidar, N., Bighami, M. Estimation of volatile organic compounds emissions from the fuel storage tanks using TANKS model and its distribution modeling by AERMOD model. *Journal of Sabzevar University of Medical Sciences*. 2016;23(2):253-261.
- 9- Atabi F, Jafarigol F, Momeni M, Salimian M, Bahmannia G. Dispersion modeling of CO with AERMOD in South Pars fourth gas refinery. *Journal of Environmental Health Engineering*. 2014;1(4):281-92.
- 10- Momeni IM, Danehkar A, Karimi S, Khorasani NA. Dispersion modelling of SO<sub>2</sub> pollution Emitted from Ramin Ahwaz power plant using AERMOD model. *Human & Environment*. 2011;9(3):3-8.
- 11- Abbasi Chaleshtori L, Nejadkoorki F, Ashrafi K. Performance of AERMOD Under Different Building Forms and Dimensions. *Environmental Sciences*. 2015; 13(1):15-24.
- 12- Hall DJ, Spanton AM, Dunkerley F, Bennett M, Griffiths RF. An intercomparison of the AERMOD, ADMS and ISC dispersion models for regulatory applications. In 7th international conference on Harmonisation within Atmospheric Dispersion Modelling for Regulatory Purposes. Joint Research Centre, Environment Institute. 2001;47-51.
- 13- Mbiaké R, Mfoumou E, Wakata AB, Ndjeuna E, Djamen JK, Leduc R, Bobda C. Atmospheric Dispersion Modeling of the Emissions from the Logbaba Thermal Power Plant, Douala-Cameroon. *Open Journal of Air Pollution*. 2017;6(4):117-134.
- 14- Rahamanian M, Sedighi K, Aminirad H. Investigating the Gaussian Model in Air Pollution Distribution Modeling Using Geographic Information System. Sixth National Congress of Civil Engineering. 2011.
- 15- Bady M. Fundamentals of direct inverse CFD modeling to detect air pollution sources in urban areas. *Computational Water, Energy, and Environmental Engineering*. 2013;2(2):30593.
- 16- Peel JL, Haeuber R, Garcia V, Russell AG, Neas L. Impact of nitrogen and climate change interactions on ambient air pollution and human health. *Biogeochemistry*. 2013;114(1-3):121-134.
- 17- Kampa M, Castanas E. Human health effects of air pollution. *Environmental pollution*. 2008;151(2):362-367.